

พื้นเก็บเกี่ยวพลังงานหลักการไตรโบอิเล็กทริก
TRIBOELECTRIC ENERGY HARVESTING FLOOR TILES



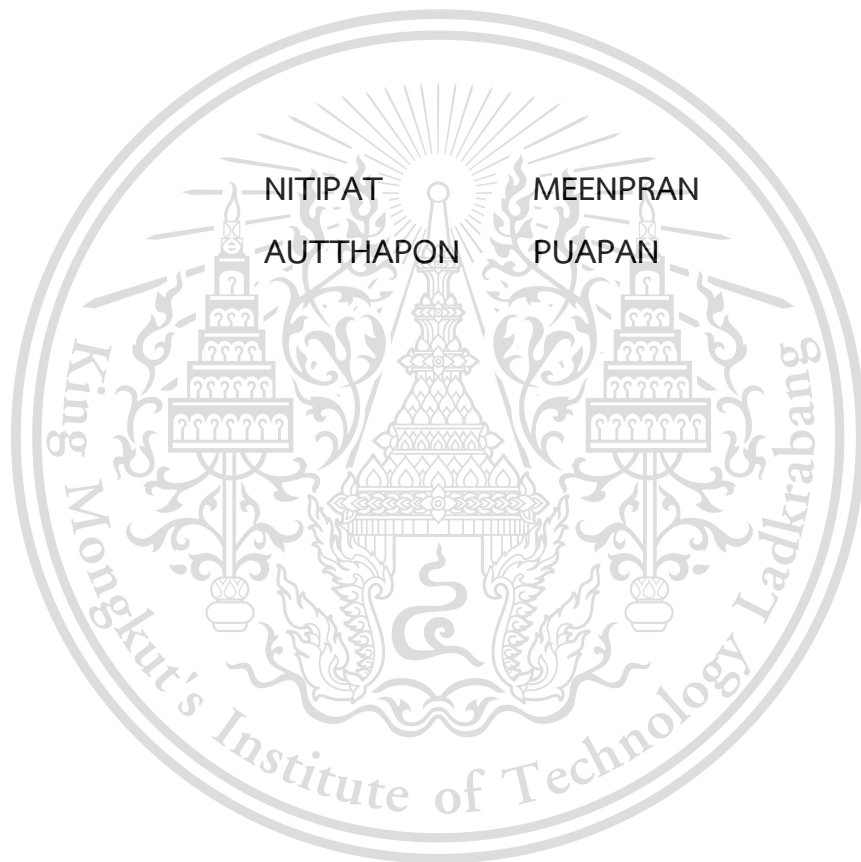
ปริญญาานิพนธ์นี้เป็นส่วนหนึ่งของการศึกษาตามหลักสูตรปริญญาวิศวกรรมศาสตรบัณฑิต
สาขาวิชาวิศวกรรมระบบควบคุม
คณะวิศวกรรมศาสตร์

เอกสารนี้เป็นเอกสารที่สงวนไว้สำหรับใช้ภายในเท่านั้น มิใช่เพื่อเผยแพร่สู่สาธารณะโดยไม่ได้รับอนุญาต
ไม่ว่ากรณีใดๆทั้งสิ้น อีกทั้งห้ามมิให้ดัดแปลงเนื้อหา และต้องอ้างอิงถึงเจ้าของเอกสารทุกครั้งที่มีการนำไปใช้
ปีการศึกษา 2563

This material is reserved for educational use only, not allowed for commercial use.

Forbidden to modify the content, and cite the document when use.

TRIBOELECTRIC ENERGY HARVESTING FLOOR TILES



THIS THESIS IS SUBMITTED IN PARTIAL FULFILLMENT
OF THE REQUIREMENTS FOR THE DEGREE OF
BACHELOR OF ENGINEERING IN CONTROL ENGINEERING
SCHOOL OF ENGINEERING

KING MONGKUT'S INSTITUTE OF TECHNOLOGY LADKRABANG

เอกสารนี้เป็นเอกสารทูลงวนเวลาหรับการใชงานเพื่การศึกษาเท่านั้น ไมอนุญาตเห็นาไปเซประยชนดานการค้
ACADEMIC YEAR 2020

ไมวากรณีใดๆทั้งสิ้น อิกทั้งห้ามมิใหัดัดแปลงเนื้อหา และตองอาจองถึงเจาของเอกสารทุกครั้งที่มีการนำไปใช

This material is reserved for educational use only, not allowed for commercial use.

Forbidden to modify the content, and cite the document when use.


ปริญญาานิพนธ์ปีการศึกษา 2563

ภาควิชาวิศวกรรมการวัดและควบคุม คณะวิศวกรรมศาสตร์
สถาบันเทคโนโลยีพระจอมเกล้าเจ้าคุณทหารลาดกระบัง

เรื่อง พื้นเก็บเกี่ยวพลังงานหลักการไทรโบอิเล็กทริก
TRIBOELECTRIC ENERGY HARVESTING FLOOR TILES

ผู้จัดทำ นายนิธิพัฒน์ หมื่นพราน 60010586
นายอรรถพล พัวพันธ์ 60011163




.....อาจารย์ที่ปรึกษา
(ผศ. สองเมือง นันทขว้าง)

เอกสารนี้เป็นเอกสารที่สงวนไว้สำหรับการใช้งานเพื่อการศึกษาเท่านั้น ไม่อนุญาตให้นำไปใช้ประโยชน์ด้านการค้า
ไม่ว่ากรณีใดๆทั้งสิ้น อีกทั้งห้ามมิให้ตัดแปลงเนื้อหา และต้องอ้างอิงถึงเจ้าของเอกสารทุกครั้งที่มีการนำไปใช้

This material is reserved for educational use only, not allowed for commercial use.

Forbidden to modify the content, and cite the document when use.

พื้นเก็บเกี่ยวพลังงานหลักการโทรโบอิเล็กทรอนิกส์

โดย

นายนิธิพัฒน์ หมื่นพราน 60010586

นายอรรถพล พัวพันธ์ 60011163

อาจารย์ที่ปรึกษา

ผศ. สองเมือง นันทขว้าง

ปีการศึกษา 2563

บทคัดย่อ

พื้นเก็บเกี่ยวพลังงานหลักการโทรโบอิเล็กทรอนิกส์ คือการนำเอาวัสดุที่มีคุณสมบัติโทรโบอิเล็กทรอนิกส์ มาประยุกต์ใช้ให้เหมาะสมกับการใช้ชีวิตในปัจจุบันอย่าง การเดิน วิ่ง กระโดด ผ่านพื้นที่ออกแบบมาสำหรับการเหยียบโดยเฉพาะ และทำให้เกิดประโยชน์สูงสุด วัตถุประสงค์ของโครงการนี้เพื่อศึกษากระบวนการเก็บเกี่ยวพลังงานจากวัสดุโทรโบอิเล็กทรอนิกส์ แล้วนำมาใช้กับพื้นเก็บเกี่ยวพลังงานที่ออกแบบไว้ โดยสามารถแบ่งเป็น 2 ส่วนหลัก ได้แก่ การออกแบบโมดูล (module) ภายในพื้นเพื่อรองรับรูปแบบโครงสร้างสำหรับการเก็บเกี่ยวพลังงาน และการดำเนินการทดลองเก็บเกี่ยวพลังงานจากเหยียบพื้น ซึ่งวัสดุโทรโบอิเล็กทรอนิกส์ที่ใช้กับการทดลองทั้งหมด คือวัสดุเทฟลอน (Teflon) ความหนา 0.01 เซนติเมตร โครงสร้างภายในพื้นมี 2 รูปแบบ คือแบบพื้นฐาน (สี่เหลี่ยมจัตุรัส) ขนาด 30x30 เซนติเมตร และแบบแยกเซลล์ย่อยจำนวน 4 เซลล์ (สี่เหลี่ยมจัตุรัส) ขนาด 15x15 เซนติเมตร ในส่วนการทดลองจะเป็นการหาค่ากำลังไฟฟ้าที่มีค่าสูงสุด เพื่อทดสอบประสิทธิภาพของโครงสร้างหรือโมดูลแต่ละแบบภายในพื้นเก็บเกี่ยวพลังงาน จากผลการทดลองพบว่า โครงสร้างแบบแยกเซลล์ย่อยต่อขนานกันจำนวน 4 เซลล์ เป็นโครงสร้างที่มีประสิทธิภาพดีที่สุดในแง่กำลังไฟฟ้า 5.627 μ W และ Optimal load อยู่ที่ 90 M Ω

เอกสารนี้เป็นเอกสารสงวนลิขสิทธิ์สำหรับการใช้งานเพื่อการศึกษาเท่านั้น ไม่อนุญาตให้นำไปใช้ประโยชน์ด้านการค้า

ไม่ว่ากรณีใดๆทั้งสิ้น อีกทั้งห้ามมิให้ดัดแปลงเนื้อหา และต้องอ้างอิงถึงเจ้าของเอกสารทุกครั้งที่มีการนำไปใช้

This material is reserved for educational use only, not allowed for commercial use.

TRIBOELECTRIC ENERGY HARVESTING FLOOR TILES

By

Mr. Nitipat Meenpran 60010586

Mr. Autthapon Puapan 60011163

Advisor

Asst.Prof.Songmoung Nundrakwang

Academic Year 2020

ABSTRACT

Triboelectric Energy Harvesting Floor Tiles is the use of materials with properties of triboelectric to applied in daily life. Such as walking, running, jumping through the energy harvesting floor tiles that especially designed and building for stepping to make the most of benefit. The objective of this project is to study the process of energy harvesting from triboelectric materials. And applied to energy harvesting floor tiles that can be divided into 2 main parts. First, is the modular design (module) within the floor to support the structural layout for energy harvesting. Second, conducting experiments to harvest energy from the floor tiles. Teflon is a triboelectric material that used for all experiments, thickness 0.01 cm. There are 2 types of internal structures. First is the basic type of square, size 30x30 cm. and the sub-cell type about 4 cells of square, size 15x15 cm. In the experimental part, it will find the maximum electrical power to test the performance of each structure within the energy harvesting floor tiles. From the results of the experiment was found that the sub-cellular structure 4 cells parallel is the most efficient structure. Which gives the power 5.627 μ W and optimal load 90 M Ω .

เอกสารนี้เป็นเอกสารที่สงวนลิขสิทธิ์ไว้เพื่อการศึกษาเท่านั้น เมื่อผู้ผู้ใดเห็นประโยชน์ในการค้า

ไม่ว่ากรณีใดๆทั้งสิ้น อีกทั้งห้ามมิให้ดัดแปลงเนื้อหา และต้องอ้างอิงถึงเจ้าของเอกสารทุกครั้งที่มีการนำไปใช้

This material is reserved for educational use only, not allowed for commercial use.

||

Forbidden to modify the content, and cite the document when use.

กิตติกรรมประกาศ

ปริญญาานิพนธ์ฉบับนี้สำเร็จลุล่วงได้ด้วยดี ทางผู้จัดทำขอขอบพระคุณ ผศ. สองเมือง นันทขว้าง และ รองศาสตราจารย์ ดร. ดอน อิศรากร ที่ให้ความช่วยเหลือ ให้ความรู้ ให้คำปรึกษา และแนะนำแนวทางในการดำเนินงานในการวิจัยนี้ และขอขอบพระคุณอาจารย์ทุก ๆ ท่านที่ให้ความรู้แก่คณะผู้จัดทำจนสามารถนำความรู้ที่ได้มาประยุกต์ใช้ในการวิจัยนี้จนทำให้ปริญญาานิพนธ์ฉบับนี้สามารถสำเร็จลุล่วงไปได้ด้วยดี ทางผู้จัดทำขอขอบพระคุณอาจารย์ทุก ๆ ท่านเป็นอย่างสูง

และขอขอบคุณรุ่นพี่ภายในห้องปฏิบัติการวิจัยระบบจักรกลไฟฟ้าหลายระดับ (Multi-Scale Electromechanical Laboratory) ที่สละเวลามาคอยให้คำแนะนำและช่วยเหลือ ชี้แนะแนวทางในการแก้ไขปัญหา ช่วยเหลือสนับสนุนการใช้อุปกรณ์ในการทดลอง และช่วยเหลือตรวจสอบความเรียบร้อยของปริญญาานิพนธ์ฉบับนี้ ทางผู้จัดทำขอขอบพระคุณเป็นอย่างสูง

สุดท้ายขอขอบคุณทุกคนที่มีส่วนทำให้ปริญญาานิพนธ์ฉบับนี้เสร็จสมบูรณ์ ขอขอบคุณครอบครัวที่คอยเป็นกำลังใจและที่พึ่งทางใจให้เสมอมา ขอขอบคุณเพื่อน ๆ ทุกคนที่คอยให้ความช่วยเหลือและเป็นกำลังใจคอยให้คำปรึกษาที่เป็นประโยชน์ต่อการจัดทำโครงการ ขอขอบคุณภาควิชาวิศวกรรมการวัดแบบควบคุม สาขาวิศวกรรมระบบควบคุม และสถาบันเทคโนโลยีพระจอมเกล้าเจ้าคุณทหารลาดกระบัง ที่เป็นสถานที่ให้ความรู้และได้พบเจอมิตรภาพ ทางผู้จัดทำขอขอบคุณทุกคนเป็นอย่างสูงที่ทำให้ปริญญาานิพนธ์นี้ได้สำเร็จอย่างลุล่วงและสมบูรณ์

คณะผู้จัดทำ

นิธิพัฒน์

หมื่นพราน

อรรถพล

พัชพันธ์

เอกสารนี้เป็นเอกสารที่สงวนไว้สำหรับการใช้งานเพื่อการศึกษาเท่านั้น ไม่อนุญาตให้นำไปใช้ประโยชน์ด้านการค้า
ไม่ว่ากรณีใดๆทั้งสิ้น อีกทั้งห้ามมิให้ดัดแปลงเนื้อหา และต้องอ้างอิงถึงเจ้าของเอกสารทุกครั้งที่มีการนำไปใช้

This material is reserved for educational use only, not allowed for commercial use.

สารบัญ

	หน้า
บทคัดย่อภาษาไทย	I
บทคัดย่อภาษาอังกฤษ	II
กิตติกรรมประกาศ	III
สารบัญ	IV
สารบัญรูป	VII
สารบัญตาราง	X
บทที่ 1 บทนำ	1
1.1 ความเป็นมาและความสำคัญของปริญญานิพนธ์	1
1.2 วัตถุประสงค์ของปริญญานิพนธ์	2
1.3 ขอบเขตของปริญญานิพนธ์	2
1.4 ขั้นตอนการดำเนินงาน	2
1.5 ประโยชน์ที่คาดว่าจะได้รับ	2
1.6 รายละเอียดปริญญานิพนธ์	3
บทที่ 2 การเก็บเกี่ยวพลังงานหลักการไทรโบอิเล็กทริก	4
2.1 การเก็บเกี่ยวพลังงาน	4
2.2 ไทรโบอิเล็กทริก	5
2.2.1 วัสดุไทรโบอิเล็กทริก	5
2.2.2 หลักการของไทรโบอิเล็กทริก	6
2.3 หลักการส่งผ่านกำลังไฟฟ้าสูงสุด	7
2.4 วงจรเรียงกระแส (Rectifier Circuit)	8

เอกสารนี้เป็นเอกสารที่สงวนไว้สำหรับการใช้งานเพื่อการศึกษาเท่านั้น ไม่อนุญาตให้นำไปใช้ประโยชน์ด้านการค้า
ไม่ว่ากรณีใดๆทั้งสิ้น อีกทั้งห้ามมิให้ดัดแปลงเนื้อหา และต้องอ้างอิงถึงเจ้าของเอกสารทุกครั้งที่มีการนำไปใช้

This material is reserved for educational use only, not allowed for commercial use.

สารบัญ(ต่อ)

	หน้า
บทที่ 3 การออกแบบและติดตั้งโครงสร้างภายในพื้นที่เกี่ยวพลังงาน	10
3.1 พื้นที่เกี่ยวพลังงาน	10
3.2 การออกแบบโครงสร้างภายในของพื้นที่เกี่ยวพลังงาน	12
3.2.1 การออกแบบเสาสำหรับติดตั้งบริเวณตรงกลางของพื้นที่	13
3.2.2 การออกแบบเสาสำหรับติดตั้งบริเวณมุมทั้งสี่มุมของพื้นที่	14
3.3 การติดตั้งภายในของพื้นที่เกี่ยวพลังงาน	15
3.3.1 การติดตั้งเสาและแผ่นอะคริลิค	16
3.3.2 การติดตั้งแผ่นอะลูมิเนียมและแผ่นเทปลอน	17
3.4 สรุปการติดตั้งภายในพื้นที่เกี่ยวพลังงาน	18
บทที่ 4 การทดลองคุณสมบัติเฉพาะของพื้นที่เกี่ยวพลังงานหลักการโทรโบอิลิกทริก	20
4.1 การทดลองพื้นที่เกี่ยวพลังงานหลักการโทรโบอิลิกทริก	20
4.2 อุปกรณ์ที่ใช้สำหรับทำการทดลองเปรียบเทียบคุณสมบัติเฉพาะของพื้นที่	20
4.3 ขั้นตอนการทดลอง	21
4.3.1 แบบพื้นฐาน	21
4.3.2 แบบแยกเซลล์ต่อขนาน	24
4.3.3 แบบแยกเซลล์ต่ออนุกรม	27
4.3.4 แบบแยกเซลล์ย่อย	29
4.4 การทดลองที่ไม่ผ่านวงจรเรียงกระแส	37

เอกสารนี้เป็นเอกสารที่สงวนลิขสิทธิ์ไว้เพื่อใช้ในการศึกษาเท่านั้น ไม่อนุญาตให้นำไปใช้ประโยชน์ทางการค้า

ไม่ว่ากรณีใดๆทั้งสิ้น อีกทั้งห้ามมิให้ดัดแปลงเนื้อหา และต้องอ้างอิงถึงเจ้าของเอกสารทุกครั้งที่มีการนำไปใช้

This material is reserved for educational use only, not allowed for commercial use.

สารบัญ(ต่อ)

	หน้า
บทที่ 5 สรุปการดำเนินงาน	44
5.1 สรุปผลการดำเนินงาน	44
5.2 ปัญหาและอุปสรรคในการดำเนินงาน	45
5.3 แนวทางการพัฒนาและต่อยอด	45
เอกสารอ้างอิง	46
ภาคผนวก	49



เอกสารนี้เป็นเอกสารที่สงวนไว้สำหรับการใช้งานเพื่อการศึกษาเท่านั้น ไม่อนุญาตให้นำไปใช้ประโยชน์ด้านการค้า
ไม่ว่ากรณีใดๆทั้งสิ้น อีกทั้งห้ามมิให้ดัดแปลงเนื้อหา และต้องอ้างอิงถึงเจ้าของเอกสารทุกครั้งที่มีการนำไปใช้

This material is reserved for educational use only, not allowed for commercial use.

สารบัญรูป

รูปที่	หน้า
2.1 องค์ประกอบของระบบเก็บเกี่ยวพลังงาน	4
2.2 ความเด่นของวัสดุไพโรโบอิเล็คทริก	5
2.3 หลักการทำงานของวัสดุไพโรโบอิเล็คทริก	6
2.4 วงจรไฟฟ้าและกราฟอธิบายพื้นฐานของการถ่ายโอนกำลังไฟฟ้าสูงสุด	7
2.5 วงจรเรียงกระแสแบบเต็มลูกคลื่น	8
2.6 การทำงานของวงจรเรียงกระแสแบบเต็มลูกคลื่น	9
3.1 พื้นเก็บเกี่ยวพลังงาน	10
3.2 แบบด้านบนของพื้นเก็บเกี่ยวพลังงาน	11
3.3 แบบด้านหน้าของพื้นเก็บเกี่ยวพลังงาน	12
3.4 ด้านข้างของพื้นเก็บเกี่ยวพลังงาน	13
3.5 การวางตำแหน่งของเสาแต่ละต้น	12
3.6 ตำแหน่งสำหรับยึดเสากับพื้นด้วยสกรู	13
3.7 แบบเสาที่ติดบริเวณตรงกลางของพื้นทั้งผาด้านบนและฐานด้านล่าง	13
3.8 เสาที่ติดบริเวณตรงกลางของพื้นทั้งผาด้านบนและฐานด้านล่าง	14
3.9 แบบเสาที่ติดบริเวณมุมทั้ง 4 มุมของพื้นทั้งผาด้านบนและฐานด้านล่าง	14
3.10 เสาที่ติดบริเวณมุมทั้ง 4 มุมของพื้นทั้งผาด้านบนและฐานด้านล่าง	15
3.11 การแสดงการติดตั้งเสาและแผ่นอะคริลิค	16

เอกสารนี้เป็นเอกสารที่สงวนไว้สำหรับการใช้งานเพื่อการศึกษาเท่านั้น ไม่อนุญาตให้นำไปใช้ประโยชน์ด้านการค้า
ไม่ว่ากรณีใดๆทั้งสิ้น อีกทั้งห้ามมิให้ดัดแปลงเนื้อหา และต้องอ้างอิงถึงเจ้าของเอกสารทุกครั้งที่มีการนำไปใช้

This material is reserved for educational use only, not allowed for commercial use.

สารบัญรูป(ต่อ)

รูปที่	หน้า
3.12 การติดตั้งเสาและเชื่อมอะคริลิคเชื่อมกับเสาทั้งหมด	16
3.13 แผ่นอะลูมิเนียม	17
3.14 แผ่นทองแดงและแผ่นเทปลอน	17
3.15 การติดตั้งภายในพื้นเก็บเกี่ยวพลังงาน	18
3.16 การจำลองการติดตั้งภายในพื้นเก็บเกี่ยวพลังงาน	18
3.17 แบบพื้นเสร็จสมบูรณ์จากมูมบน	19
4.1 การต่อวงจรที่ใช้ในการทดลอง	21
4.2 แรงดันและกระแสไฟฟ้าของแบบพื้นฐาน	23
4.3 กำลังไฟฟ้าของแบบพื้นฐาน	23
4.4 แบบแยกเซลล์ 4 เซลล์	24
4.5 แรงดันและกระแสไฟฟ้าของแบบต่อขนาน 4 เซลล์	26
4.6 กำลังไฟฟ้าของแบบต่อขนาน 4 เซลล์	26
4.7 แรงดันและกระแสไฟฟ้าของแบบต่ออนุกรม 4 เซลล์	28
4.8 กำลังไฟฟ้าของแบบต่ออนุกรม 4 เซลล์	28
4.9 แรงดันและกระแสไฟฟ้าของเซลล์ย่อยที่ 1	30
4.10 กำลังไฟฟ้าของเซลล์ย่อยที่ 1	30
4.11 แรงดันและกระแสไฟฟ้าของเซลล์ย่อยที่ 2	32
4.12 กำลังไฟฟ้าของเซลล์ย่อยที่ 2	32
4.13 แรงดันและกระแสไฟฟ้าของเซลล์ย่อยที่ 3	34
4.14 กำลังไฟฟ้าของเซลล์ย่อยที่ 3	34
4.15 แรงดันและกระแสไฟฟ้าของเซลล์ย่อยที่ 4	36
4.16 กำลังไฟฟ้าของเซลล์ย่อยที่ 4	36

เอกสารนี้เป็นเอกสารที่สงวนลิขสิทธิ์ไว้เพื่อการศึกษาเท่านั้น ไม่อนุญาตให้นำไปใช้ประโยชน์ทางการค้า
ไม่ว่ากรณีใดๆทั้งสิ้น อีกทั้งห้ามมิให้ดัดแปลงเนื้อหา และต้องอ้างอิงถึงเจ้าของเอกสารทุกครั้งที่มีการนำไปใช้

This material is reserved for educational use only, not allowed for commercial use.

สารบัญรูป(ต่อ)

รูปที่	หน้า
4.17 แรงดันไฟฟ้าและกระแสไฟฟ้าแบบพื้นฐานจากการทดลองที่ไม่ใช้วงจรเรียงกระแส	38
4.18 กำลังไฟฟ้าแบบพื้นฐานจากการทดลองที่ไม่ใช้วงจรเรียงกระแส	38
4.19 แรงดันไฟฟ้าและกระแสไฟฟ้าแบบ 4 เซลล์ต่อแบบขนานจากการทดลองที่ไม่ใช้วงจรเรียงกระแส	40
4.20 กำลังไฟฟ้าแบบ 4 เซลล์ต่อแบบขนานจากการทดลองที่ไม่ใช้วงจรเรียงกระแส	40
4.21 แรงดันไฟฟ้าและกระแสไฟฟ้าจากการทดลองที่ไม่ได้เหยียบพื้นให้ค่าแรงดันถึงจุดคงที่ก่อนทดลอง	42
4.22 กำลังไฟฟ้าจากการทดลองที่ไม่ได้เหยียบพื้นให้ค่าแรงดันถึงจุดคงที่ก่อนทดลอง	42



เอกสารนี้เป็นเอกสารที่สงวนไว้สำหรับการใช้งานเพื่อการศึกษาเท่านั้น ไม่อนุญาตให้นำไปใช้ประโยชน์ด้านการค้า
ไม่ว่ากรณีใดๆทั้งสิ้น อีกทั้งห้ามมิให้ดัดแปลงเนื้อหา และต้องอ้างอิงถึงเจ้าของเอกสารทุกครั้งที่มีการนำไปใช้

This material is reserved for educational use only, not allowed for commercial use.

สารบัญตาราง

ตารางที่	หน้า
3.1 ตารางความสูง/หนาของอุปกรณ์ที่นำมาติดตั้งในของพื้น	19
4.1 ผลการทดลองแบบพื้นฐาน	22
4.2 ผลการทดลองแบบแยกเซลล์ต่อขนาน	25
4.3 ผลการทดลองแบบแยกเซลล์ต่ออนุกรม	27
4.4 ผลการทดลองแบบแยกเซลล์ย่อยเซลล์ที่ 1	29
4.5 ผลการทดลองแบบแยกเซลล์ย่อยเซลล์ที่ 2	31
4.6 ผลการทดลองแบบแยกเซลล์ย่อยเซลล์ที่ 3	33
4.7 ผลการทดลองแบบแยกเซลล์ย่อยเซลล์ที่ 4	35
4.8 ผลการทดลองแบบพื้นฐานที่ยังไม่ผ่านวงจรเรียงกระแส	37
4.9 ผลการทดลองแบบต่อขนานที่ยังไม่ผ่านวงจรเรียงกระแส	39
4.10 ผลการทดลองที่แรงดันยังไม่ถึงจุดคงที่ก่อนการทดลอง	41

เอกสารนี้เป็นเอกสารที่สงวนไว้สำหรับการใช้งานเพื่อการศึกษาเท่านั้น ไม่อนุญาตให้นำไปใช้ประโยชน์ด้านการค้า
ไม่ว่ากรณีใดๆทั้งสิ้น อีกทั้งห้ามมิให้ดัดแปลงเนื้อหา และต้องอ้างอิงถึงเจ้าของเอกสารทุกครั้งที่มีการนำไปใช้

This material is reserved for educational use only, not allowed for commercial use.

X

Forbidden to modify the content, and cite the document when use.

บทที่ 1

บทนำ

1.1 ความเป็นมาและความสำคัญของปริญญานิพนธ์

ปัจจุบันพลังงานไฟฟ้าคือสิ่งจำเป็นในชีวิตประจำวันของมนุษย์ การผลิตพลังงานไฟฟ้านั้นมีหลากหลายวิธีที่สามารถประยุกต์ใช้ได้ โดยโครงงานนี้เป็นหนึ่งในวิธีที่น่าสนใจในการนำมาประยุกต์ใช้กับการเดิน การวิ่ง และ การกระโดดของมนุษย์ คือพื้นเก็บเกี่ยวพลังงานไฟฟ้าจากวัสดุไพโรอิเล็กทริกที่จะสามารถนำมาประยุกต์ใช้ได้ ซึ่งจะเป็นการจัดเก็บพลังงานโดยตรงจากมนุษย์หรือสิ่งแวดล้อมต่าง ๆ เพื่อนำมาใช้ประโยชน์ โดยเหตุผลของการเลือกวัสดุไพโรอิเล็กทริกมาประยุกต์ใช้ในโครงงานนี้ เพราะวัสดุไพโรอิเล็กทริกนั้นหาซื้อได้ง่ายตามท้องตลาดทั่วไปและราคาถูกกว่าวัสดุอื่น ๆ ที่มีคุณสมบัติในการสร้างพลังงานไฟฟ้าเหมือนกัน

การเก็บเกี่ยวพลังงานจากพื้นเก็บเกี่ยวพลังงานหลักการไพโรอิเล็กทริกจึงเป็นเรื่องที่น่าสนใจในการนำเสนอด้านการเก็บเกี่ยวพลังงานหรือเรียกอีกอย่างว่า Energy Harvesting ซึ่งก็คือการนำเอาพลังงานในรูปแบบต่าง ๆ ในธรรมชาติและสิ่งแวดล้อมมาเปลี่ยนแปลงเป็นพลังงานไฟฟ้าเพื่อนำมาใช้กับอุปกรณ์อิเล็กทรอนิกส์ที่ต้องการพลังงานไฟฟ้าในการทำงานขนาดเล็ก ๆ โดยการใช้หลักการการเปลี่ยนแปลงของโครงสร้างภายในของวัสดุ การเกิดไฟฟ้าสถิตและการถ่ายเทประจุมาทำการจัดเก็บพลังงานจากวัสดุไพโรอิเล็กทริก

การนำพื้นเก็บเกี่ยวพลังงานหลักการไพโรอิเล็กทริกมาใช้งานนั้น ต้องผ่านการทดลองหลายขั้นตอนด้วยกัน อย่างแรกคือการหาวิธีที่จะทำให้ได้พลังงานและกำลังไฟฟ้าสูงสุด โดยใช้หลักการส่งผ่านกำลังไฟฟ้าสูงสุด (Maximum Power Transfer) เพื่อหาความต้านทานภายในของวัสดุไพโรอิเล็กทริกที่ใช้ หลังจากนั้นคือการกักเก็บค่าพลังงานไฟฟ้าที่ได้เพื่อนำไปใช้ประโยชน์ต่อไป และส่วนสุดท้ายคือการทดลองในรูปแบบต่าง ๆ ตามบทความข้างต้น ซึ่งสิ่งเหล่านี้จะนำไปสู่แหล่งความคิดสิ่งประดิษฐ์ นวัตกรรมใหม่ ๆ หรือวิธีการดำเนินงานที่มีประสิทธิภาพมากขึ้นกว่าอดีตและพัฒนาต่อไปยังอนาคต (ด้านการเก็บเกี่ยวพลังงาน)

เอกสารนี้เป็นเอกสารที่สงวนไว้สำหรับการใช้งานเพื่อการศึกษาเท่านั้น ไม่อนุญาตให้นำไปใช้ประโยชน์ด้านการค้า
ไม่ว่ากรณีใดๆทั้งสิ้น อีกทั้งห้ามมิให้ดัดแปลงเนื้อหา และต้องอ้างอิงถึงเจ้าของเอกสารทุกครั้งที่มีการนำไปใช้

This material is reserved for educational use only, not allowed for commercial use.

Forbidden to modify the content, and cite the document when use.

1.2 วัตถุประสงค์ของปฏิญานิพนธ์

- เพื่อศึกษาพฤติกรรมของวัสดุไพโรอิเล็กทริก
- เพื่อศึกษาการเก็บเกี่ยวพลังงานจากวัสดุไพโรอิเล็กทริก (Triboelectric Harvesting)
- ออกแบบพื้นที่สำหรับการจัดเก็บพลังงานจากวัสดุไพโรอิเล็กทริก

1.3 ขอบเขตของปฏิญานิพนธ์

- ศึกษาทฤษฎีและหลักการทำงานของวัสดุไพโรอิเล็กทริก
- ออกแบบพื้นที่จัดเก็บพลังงานจากวัสดุไพโรอิเล็กทริก
- ออกแบบการทดลองเพื่อทดสอบประสิทธิภาพในการเก็บเกี่ยวพลังงานของวัสดุไพโรอิเล็กทริกภายในพื้นที่

1.4 ขั้นตอนการดำเนินงาน

- ศึกษาหลักการเก็บเกี่ยวพลังงานและพฤติกรรมของวัสดุไพโรอิเล็กทริก
- ออกแบบพื้นที่สำหรับการเก็บเกี่ยวพลังงานจากวัสดุไพโรอิเล็กทริก
- ทดสอบการทำงานของพื้นที่และทดลองการเก็บเกี่ยวพลังงาน
- เปรียบเทียบผลการทดลองและสรุปผลการดำเนินงาน
- จัดทำวิทยานิพนธ์

1.5 ประโยชน์ที่คาดว่าจะได้รับ

- เป็นพื้นฐานในการวิจัยสำหรับผู้สนใจการเก็บพลังงาน
- สามารถนำข้อมูลที่ได้ไปพัฒนาต่อยอดได้

เอกสารนี้เป็นเอกสารที่สงวนไว้สำหรับการใช้งานเพื่อการศึกษาเท่านั้น ไม่อนุญาตให้นำไปใช้ประโยชน์ด้านการค้า
ไม่ว่ากรณีใดๆทั้งสิ้น อีกทั้งห้ามมิให้ดัดแปลงเนื้อหา และต้องอ้างอิงถึงเจ้าของเอกสารทุกครั้งที่มีการนำไปใช้

This material is reserved for educational use only, not allowed for commercial use.

Forbidden to modify the content, and cite the document when use.

1.6 รายละเอียดปฏิญานิพนธ์

เนื้อหาภายในปฏิญานิพนธ์ฉบับนี้มีรายละเอียดที่สำคัญทั้งหมด 5 บทและภาคผนวก โดยมีรายละเอียดดังต่อไปนี้

บทที่ 1 บทนำ เป็นการกล่าวถึงที่มาและความสำคัญของปฏิญานิพนธ์ วัตถุประสงค์ ขอบเขต ขั้นตอนการดำเนินงาน ประโยชน์ที่คาดว่าจะได้รับและรายละเอียดของปฏิญานิพนธ์

บทที่ 2 การเก็บเกี่ยวพลังงานหลักการโทรโบอิเล็กทรอนิกส์ กล่าวถึงหลักการเก็บเกี่ยวพลังงาน และทฤษฎีที่นำมาประยุกต์ใช้กับการดำเนินงานของปฏิญานิพนธ์

บทที่ 3 การออกแบบภายในของพื้นเป็นการอธิบายขั้นตอนในการออกแบบและติดตั้งภายในพื้นเก็บเกี่ยวพลังงาน

บทที่ 4 ผลการทดลอง เป็นการแสดงรายละเอียดการทดลองและผลการทดลองทั้งหมดที่เกี่ยวข้อง

บทที่ 5 สรุปผลการทดลอง เป็นการสรุปภาพรวมของการดำเนินงานทั้งหมด และข้อเสนอแนะสำหรับการนำอุปกรณ์ไปพัฒนาและต่อยอด

ภาคผนวก เป็นส่วนแสดงตัวอย่างการต่อยอดโครงสร้างภายในพื้นเก็บเกี่ยวพลังงาน



เอกสารนี้เป็นเอกสารที่สงวนไว้สำหรับการใช้งานเพื่อการศึกษาเท่านั้น ไม่อนุญาตให้นำไปใช้ประโยชน์ด้านการค้า
ไม่ว่ากรณีใดๆทั้งสิ้น อีกทั้งห้ามมิให้ดัดแปลงเนื้อหา และต้องอ้างอิงถึงเจ้าของเอกสารทุกครั้งที่มีการนำไปใช้

This material is reserved for educational use only, not allowed for commercial use.

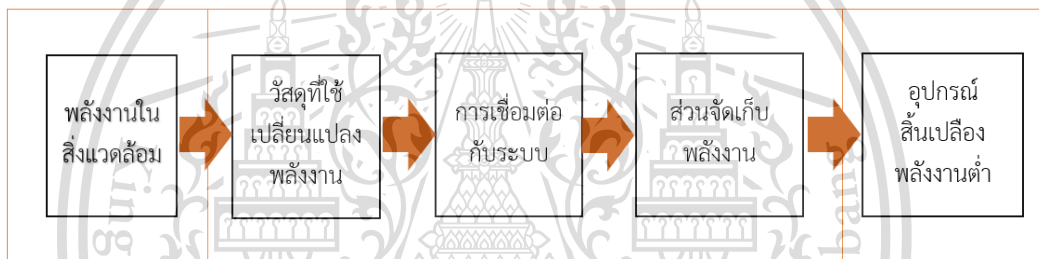
Forbidden to modify the content, and cite the document when use.

บทที่ 2

การเก็บเกี่ยวพลังงานหลักการโทรโบอิเล็กทรอนิกส์

2.1 การเก็บเกี่ยวพลังงาน

การเก็บเกี่ยวพลังงาน (Energy harvesting) เป็นกระบวนการในการนำพลังงานที่เกิดขึ้นสิ่งแวดล้อมต่าง ๆ ในธรรมชาติมาจัดเก็บไว้ ซึ่งพลังงานที่ได้มาจากสิ่งแวดล้อมจะมีการเปลี่ยนแปลงให้เป็นพลังงานไฟฟ้า หลังจากนั้นนำมาจัดเก็บแล้วสามารถนำไปใช้กับอุปกรณ์อิเล็กทรอนิกส์ที่ต้องการพลังงานต่ำได้ โดยในโครงงานนี้จะเป็นการจัดเก็บพลังงานที่ได้มาจากการเดิน การวิ่ง หรือการกระโดดของมนุษย์บนพื้นเก็บเกี่ยวพลังงานก่อนจะนำไปพัฒนาและประยุกต์ใช้ได้ต่อไป โดยจะมีองค์ประกอบที่สำคัญของระบบเก็บเกี่ยวพลังงานดังรูปที่ 2.1



รูปที่ 2.1 องค์ประกอบของระบบเก็บเกี่ยวพลังงาน [1]

พลังงานในสิ่งแวดล้อมเป็นพลังงานที่ได้มาจากสิ่งแวดล้อมที่ต้องการนำมาเก็บไว้ ซึ่งในโครงงานนี้เลือกใช้พลังงานที่เกิดขึ้นจากการเหยียบพื้น ซึ่งวัสดุภายในพื้นจะเป็นวัสดุที่มีการเปลี่ยนแปลงพลังงาน สามารถเปลี่ยนแปลงรูปแบบของพลังงานได้ ในโครงงานนี้ได้เลือกใช้วัสดุประเภทโทรโบอิเล็กทรอนิกส์ที่สามารถแปลงพลังงานกลจากการเปลี่ยนแปลงโครงสร้างภายในตัววัสดุแล้วนำไปเชื่อมต่อกับระบบ ซึ่งจะเป็นการเชื่อมต่อกันระหว่างวัสดุที่ใช้ในการแปลงพลังงานกับส่วนจัดเก็บพลังงานเพื่อให้สามารถเชื่อมต่อกับวงจรที่อยู่ภายนอกได้ หรือเป็นส่วนที่ทำหน้าที่จัดการพลังงานที่ได้มาจากวัสดุที่สามารถแปลงพลังงานได้แล้วนำไปจัดเก็บไว้ในส่วนของการจัดเก็บพลังงาน เช่น ตัวเก็บประจุ แบตเตอรี่ต่าง ๆ เป็นต้น ก่อนจะนำไปใช้งานได้

เอกสารนี้เป็นเอกสารที่สงวนไว้สำหรับการใช้งานเพื่อการศึกษาเท่านั้น ไม่อนุญาตให้นำไปใช้ประโยชน์ด้านการค้า
ไม่ว่ากรณีใดๆทั้งสิ้น อีกทั้งห้ามมิให้ดัดแปลงเนื้อหา และต้องอ้างอิงถึงเจ้าของเอกสารทุกครั้งที่มีการนำไปใช้

This material is reserved for educational use only, not allowed for commercial use.

Forbidden to modify the content, and cite the document when use.

2.2 ไทโรโบอิเล็ทริก

2.2.1 วัสดุไทโรโบอิเล็ทริก

วัสดุไทโรโบอิเล็ทริกหรือวัสดุที่มีคุณสมบัติไทโรโบอิเล็ทริก เป็นวัสดุที่สามารถทำให้เกิดการเหนี่ยวนำประจุไฟฟ้าเพื่อสร้างแรงดันไฟฟ้าได้ โดยจะใช้การนำแผ่นตัวนำไฟฟ้า เช่น แผ่นทองแดง อลูมิเนียม เป็นต้น มาสัมผัส ถู หรือ กระทบกัน หลังจากนั้นจะทำให้เกิดการแยกกันระหว่างประจุบวกและประจุลบบนแผ่นตัวนำไฟฟ้ากับวัสดุไทโรโบอิเล็ทริก ซึ่งงานวิจัยนี้จะมุ่งเน้นการใช้ประโยชน์จากคุณสมบัติไทโรโบอิเล็ทริกที่มีอยู่ในวัสดุเทปลอน มาทำการทดลองเก็บเกี่ยวพลังงานไฟฟ้าโดยใช้หลักการที่กล่าวมาจากข้างต้น

Positive		Negative
Air		Ebonite
Skin		Silicon rubber
Leather		Teflon
Asbestos		Selenium
Glass		Polyvinylchloride (PVC)
Mica		Polyethylene
Quartz		Saran (tape)
Nylon		Neopropen
Wool		Polystyrene
Fur		Brass
Lead		Copper
Silk		Nickel
Aluminum		Latex

รูปที่ 2.2 ความเด่นของวัสดุไทโรโบอิเล็ทริก [2]

จากรูปที่ 2.2 จะเป็นการแสดงการรับและการสูญเสียอิเล็กตรอนของวัสดุไทโรโบอิเล็ทริกที่แตกต่างกัน หากวัสดุมีการสูญเสียอิเล็กตรอนได้ง่ายจะเรียกว่าวัสดุที่มีความเด่นบวก (Positive) แต่หากวัสดุสามารถรับอิเล็กตรอนได้ง่ายจะเรียกว่าวัสดุที่มีความเด่นลบ (Negative) โดยในโครงงานนี้จะเลือกใช้อะลูมิเนียมที่มีความเด่นลบและเทปลอนที่มีความเด่นบวก

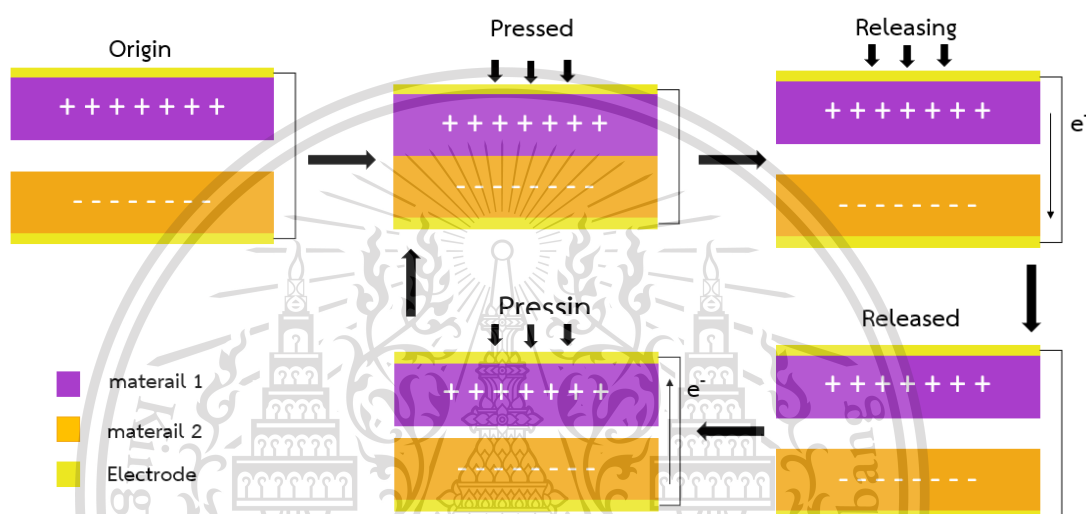
ไม่ว่ากรณีใดๆทั้งสิ้น อีกทั้งห้ามมิให้ดัดแปลงเนื้อหา และต้องอ้างอิงถึงเจ้าของเอกสารทุกครั้งที่มีการนำไปใช้

This material is reserved for educational use only, not allowed for commercial use.

Forbidden to modify the content, and cite the document when use.

2.2.2 หลักการของไตรโบอิเล็กทริก

หลักการไตรโบอิเล็กทริก หรือ Triboelectric Effect คือ ปรากฏการณ์ที่เกิดจากการขัดถูหรือกระทบกันระหว่างวัสดุสองชนิด จนทำให้เกิดการถ่ายเทประจุจากที่วัสดุทั้งสองที่เป็นกลางทางไฟฟ้า ซึ่งประจุไฟฟ้าที่เกิดขึ้นมานั้นเรียกว่าไฟฟ้าสถิต เช่น การนำแผ่นอะลูมิเนียม (Aluminum) ที่มีความเด่นลบมากระทบ กระแทบ ชน หรือถูกับวัสดุที่มีคุณสมบัติของไตรโบอิเล็กทริกเด่นบวก ในลักษณะสัมผัสแล้วแยกออกจากกัน ทำแบบนี้ ซ้ำ ๆ จะเกิดการถ่ายเทประจุไฟฟ้าขึ้น โดยการดำเนินงานโครงการนี้จะใช้วัสดุเทปลอน



รูปที่ 2.3 หลักการทำงานของวัสดุไตรโบอิเล็กทริก [3]

จากรูปที่ 2.3 เมื่อเป็นสภาวะ Origin วัสดุที่มีคุณสมบัติไตรโบอิเล็กทริกสองชนิดมาสัมผัส ถูหรือกระทบกัน จะทำให้เกิดสนามไฟฟ้าขึ้นและเกิดการเหนี่ยวนำประจุบวกของวัสดุที่มีความเด่นบวกและลบบ่อยจำนวนมากเกิดขึ้นระหว่างวัสดุสองชนิดนี้ จากนั้นประจุจากวัสดุทั้งสองจะไหลผ่านไปยังขั้วไฟฟ้าที่สภาวะ Pressed เป็นช่วงที่จะไม่มีการเกิดการเปลี่ยนแปลงของสนามไฟฟ้าในขณะที่วัสดุทั้งสองสัมผัสกัน จึงไม่มีการเกิดแรงดันไฟฟ้าขึ้น ณ สภาวะ Pressed ที่สภาวะ Releasing เมื่อวัสดุไตรโบอิเล็กทริกทั้งสองชนิดแยกออกจากการสัมผัสกัน ความเข้มของสนามไฟฟ้าจะลดลง ทำให้ประจุไฟฟ้ากลับเข้าไปยังวัสดุทั้งสองชนิดผ่านขดลวดตัวนำที่สภาวะ Released ในขณะที่วัสดุทั้งสองไม่มีการเคลื่อนที่จะไม่มีการเกิดสนามไฟฟ้า จึงไม่มีการเปลี่ยนแปลงของประจุระหว่างวัสดุทั้งสอง เกิดเป็นสภาวะที่ไม่มีแรงดันไฟฟ้าอีกครั้ง

เอกสารนี้เป็นเอกสารที่สงวนไว้สำหรับการใช้งานเพื่อการศึกษาเท่านั้น ไม่อนุญาตให้นำไปใช้ประโยชน์ด้านการค้า
ไม่ว่ากรณีใดๆทั้งสิ้น อีกทั้งห้ามมิให้ดัดแปลงเนื้อหา และต้องอ้างอิงถึงเจ้าของเอกสารทุกครั้งที่มีการนำไปใช้

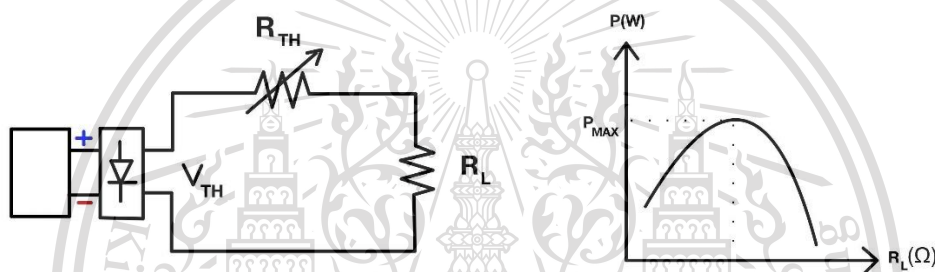
This material is reserved for educational use only, not allowed for commercial use.

Forbidden to modify the content, and cite the document when use.

2.3 หลักการส่งผ่านกำลังไฟฟ้าสูงสุด

การถ่ายโอนกำลังไฟฟ้าสูงสุด (Maximum Power Transfer) เป็นหลักการที่ใช้ถ่ายโอนในการถ่ายโอนกำลังไฟฟ้าจากแหล่งจ่ายหรือแหล่งกำเนิดไฟฟ้าไปยังโหลดหรือตัวต้านทานในวงจร เช่น วงจรจ่ายไฟฟ้าในพัดลมเป็นแหล่งจ่ายไฟฟ้าไปยังมอเตอร์ซึ่งทำหน้าที่เป็นโหลด โดยระดับความแรง การหมุนของมอเตอร์พัดลมคือกำลังไฟฟ้าที่ส่งผ่านมาจากวงจรไฟฟ้า โดยหลักการกล่าวว่าการถ่ายโอนกำลังไฟฟ้าสูงสุดไปยังโหลดนั้นจะมีการเกิดกำลังทางไฟฟ้าขึ้นสูงที่สุดเมื่อความต้านทานของโหลด มีเท่ากับกับความต้านทานภายในของแหล่งจ่ายไฟฟ้า

ในส่วนของการวิเคราะห์วงจรไฟฟ้าเรื่องการถ่ายโอนกำลังไฟฟ้าสูงสุดจะใช้วงจรสมมูลของเทวินิน (Thevenin Equivalent Circuit) ในการวิเคราะห์และคำนวณหาค่ากำลังไฟฟ้าที่ได้จากแหล่งจ่ายและกำลังไฟฟ้าที่เกิดขึ้นต่อโหลด ดังรูปที่ 2.4



รูปที่ 2.4 วงจรไฟฟ้าและกราฟอธิบายพื้นฐานของการถ่ายโอนกำลังไฟฟ้าสูงสุด [4]

ในบางครั้งการถ่ายโอนกำลังไฟฟ้าสูงสุดจากแหล่งจ่ายไปยังโหลดอาจที่จะต้องส่งผ่านตัวต้านทานจำนวนหลายตัว จึงสามารถหาค่ากำลังไฟฟ้าสูงสุด (Maximum Power) ที่จะเกิดขึ้นกับโหลดนั้น ๆ ได้โดยการนำเอาหลักการของเทวินินดังข้างต้นที่ได้กล่าวมาใช้ ซึ่งจะเห็นได้ว่าวงจรสมมูลของเทวินินมีเพียงแหล่งจ่ายแรงดันไฟฟ้าเทวินินและค่าความต้านทานเทวินินที่ต่ออยู่ในวงจร ดังนั้น จะเกิดกำลังไฟฟ้าสูงสุด (Maximum Power) กับโหลดก็ต่อเมื่อค่าความต้านทานของโหลด R_L เท่ากับความต้านทานเทวินิน R_{TH} โดยมีสมการที่ใช้ในการคำนวณดังนี้

$$I_L = \frac{V_{TH}}{R_{TH} + R_L} \quad (1)$$

$$P_L = I_L^2 R_L = \left(\frac{V_{TH}}{R_{TH} + R_L} \right)^2 R_L = \frac{V_{TH}^2 R_L}{(R_{TH} + R_L)^2} \quad (2)$$

เอกสารนี้เป็นเอกสารที่สงวนไว้สำหรับการใช้งานเพื่อการศึกษาเท่านั้น ไม่อนุญาตให้นำไปใช้ประโยชน์ด้านการค้าไม่ว่ากรณีใดๆทั้งสิ้น อีกทั้งห้ามมิให้ดัดแปลงเนื้อหา และต้องอ้างอิงถึงเจ้าของเอกสารทุกครั้งที่มีการนำไปใช้

This material is reserved for educational use only, not allowed for commercial use.

Forbidden to modify the content, and cite the document when use.

และเมื่อค่ากำลังไฟฟ้า P_L มีค่าสูงที่สุดต่อโหลดจะสามารถหาค่าความสัมพันธ์ระหว่าง R_L กับ R_{TH} ได้โดยใช้สมการอนุพันธ์ (Differential Equations) ต่อไปนี้

$$\frac{dP_L}{dR_L} = \frac{(R_{TH}+R_L)^2(2R_{TH}+2R_L)V_{TH}^2 R_L}{(R_{TH}+R_L)^4} = 0 \quad (3)$$

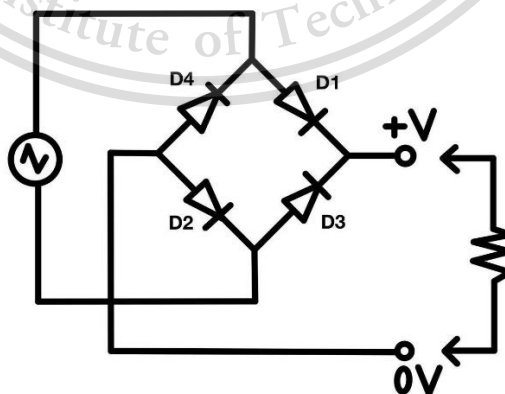
$$(R_{TH}+R_L)^2 V_{TH}^2 = 2(R_{TH}+R_L)V_{TH}^2 \quad (4)$$

$$R_{TH}+R_L = 2R_L \quad \text{ดังนั้น} \quad R_{TH} = R_L \quad (5)$$

2.4 วงจรเรียงกระแส (Rectifier Circuit)

วงจรเรียงกระแส หรือ Rectifier Circuit เป็นอุปกรณ์ที่ใช้สำหรับการเปลี่ยนสภาพของไฟฟ้ากระแสสลับที่มีทั้งด้านบวกและด้านลบ (AC) ไปเป็นไฟฟ้ากระแสตรง (DC) ด้านบวกหรือด้านลบเพียงด้านเดียว โดยวงจรเรียงกระแสเรียงกระแสโดยทั่วไปแล้วมักจะถูกเรียกว่าวงจรบริดจ์ (Bridge Rectifier Circuit) เหตุเพราะภายในวงจรหรืออุปกรณ์ที่มีคุณสมบัติการเรียงกระแสนี้มีไดโอด (Diode)

วงจรเรียงกระแส (Rectifier Circuit) แบ่งออกได้เป็น 2 แบบหลัก คือวงจรเรียงกระแสแบบเต็มลูกคลื่น (Full-wave Rectifier Circuit) และวงจรเรียงกระแสครึ่งลูกคลื่น (Half-wave Rectifier Circuit) ซึ่งในการทดลองโครงงานนี้จะใช้เพียงวงจรเรียงกระแสแบบเต็มลูกคลื่น (Full-wave Rectifier Circuit) ดังรูปที่ 2.5



เอกสารนี้เป็นเอกสารที่สงวนไว้สำหรับการใช้งานเพื่อการศึกษาเท่านั้น ไม่อนุญาตให้นำไปใช้ประโยชน์ด้านการค้า
รูปที่ 2.5 วงจรเรียงกระแสแบบเต็มลูกคลื่น [5]

ไม่ว่ากรณีใดๆทั้งสิ้น อีกทั้งห้ามมิให้ตัดแปลงเนื้อหา และต้องอ้างอิงถึงเจ้าของเอกสารทุกครั้งที่มีการนำไปใช้

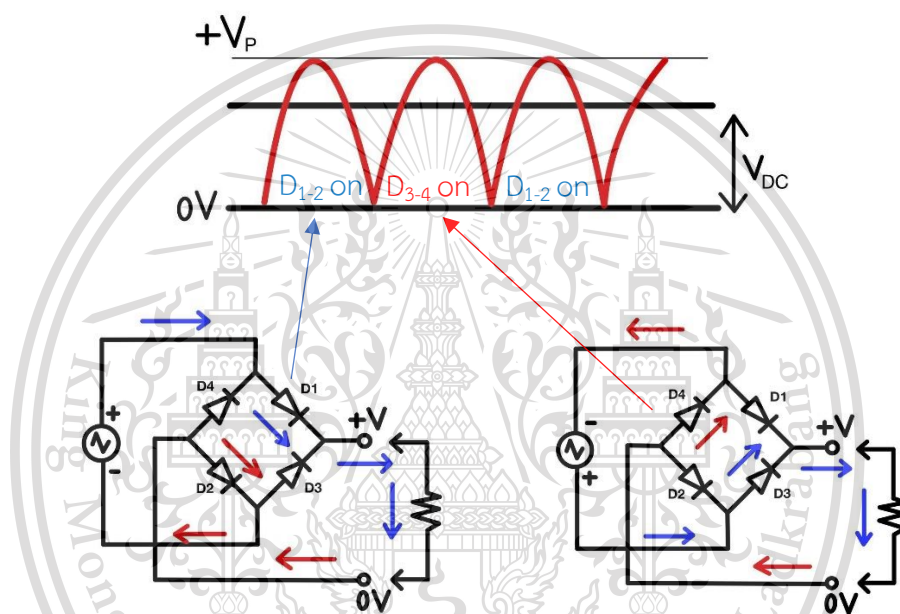
This material is reserved for educational use only, not allowed for commercial use.

Forbidden to modify the content, and cite the document when use.

การทำงานของวงจรเรียงกระแสแบบเต็มลูกคลื่น มีหลักการอย่างง่ายทั้งหมด 2 ขั้นตอนดังนี้

- เมื่อกระแสไฟฟ้าผ่านไดโอด D1 และ D2 ในช่วงครึ่งลูกคลื่นด้านบวกของแรงดันอินพุตที่เข้ามาในวงจร จะได้รูปคลื่นเอาต์พุตเป็นครึ่งลูกคลื่นในส่วนแรก
- เมื่อกระแสไฟฟ้าผ่านไดโอด D3 และ D4 แล้วกระแสไฟฟ้าจะไม่ไหลผ่านไดโอด D1 และ D2 เนื่องจากจะเป็นสวนทิศทางของไดโอด D1 และ D2 กระแสไฟฟ้าจึงไหลผ่านไปที่โหลดแทน

ทำให้ได้เอาต์พุตครึ่งลูกคลื่นด้านลบในช่วงที่สอง กลับขึ้นมาเป็นด้านบวกดังรูปที่ 2.6



รูปที่ 2.6 การทำงานของวงจรเรียงกระแสแบบเต็มลูกคลื่น [5]

รูปแบบคำนวณสำหรับการหาค่าแรงดันเอาต์พุตของวงจรเรียงกระแสแบบเต็มลูกคลื่น มีดังต่อไปนี้

$$V_{DC} = V_{AVE} = \frac{2V_p}{\pi} = 0.636 V_p \quad (7)$$

$$V_{DC} = V_{AVE} = 0.9 V_{RMS} \quad (8)$$

เอกสารนี้เป็นเอกสารที่สงวนไว้สำหรับการใช้งานเพื่อการศึกษาเท่านั้น ไม่อนุญาตให้นำไปใช้ประโยชน์ด้านการค้า
ไม่ว่ากรณีใดๆทั้งสิ้น อีกทั้งห้ามมิให้ดัดแปลงเนื้อหา และต้องอ้างอิงถึงเจ้าของเอกสารทุกครั้งที่มีการนำไปใช้

This material is reserved for educational use only, not allowed for commercial use.

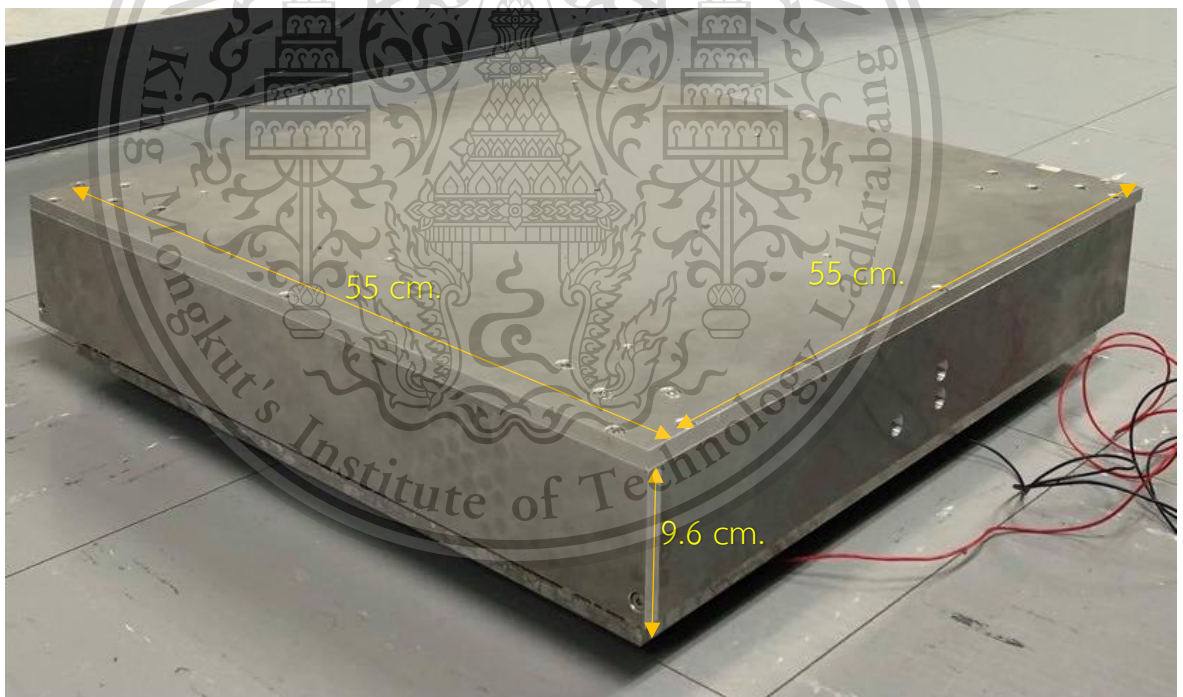
Forbidden to modify the content, and cite the document when use.

บทที่ 3

การออกแบบและติดตั้งโครงสร้างภายในพื้นเก็บเกี่ยวพลังงาน

3.1 พื้นเก็บเกี่ยวพลังงาน

พื้นเก็บเกี่ยวพลังงานจะทำจากวัสดุอะลูมิเนียมที่มีขนาด $55 \times 55 \times 9.6$ เซนติเมตร³ ดังรูปที่ 3.1 มีระยะห่างกันระหว่างฝาแผ่นบนและฐานด้านล่างอยู่ระยะที่ 8 เซนติเมตร โดยการทำงานของพื้นเมื่อมีการเหยียบพื้นลงมาแล้วฝาบบนและฐานด้านล่างจะมีระยะห่างกัน 6.5 เซนติเมตร การใช้งานเมื่อการเหยียบพื้นแล้วจะทำให้ด้านบนจะยุบตัวลงมาที่ระยะยุบตัวเท่ากับ 1.5 เซนติเมตร และเมื่อเคลื่อนที่ออกจากพื้นจะมีสปริงผลักออกให้กลับสู่สภาพเดิมที่มีระยะห่างกันของฝาบบนและฐานล่างที่ระยะ 8 เซนติเมตร ซึ่งใช้โปรแกรม Solid Works ในการออกแบบ โดยจะมีแบบพื้นดังรูปที่ 3.2 รูปที่ 3.3 และ รูปที่ 3.4

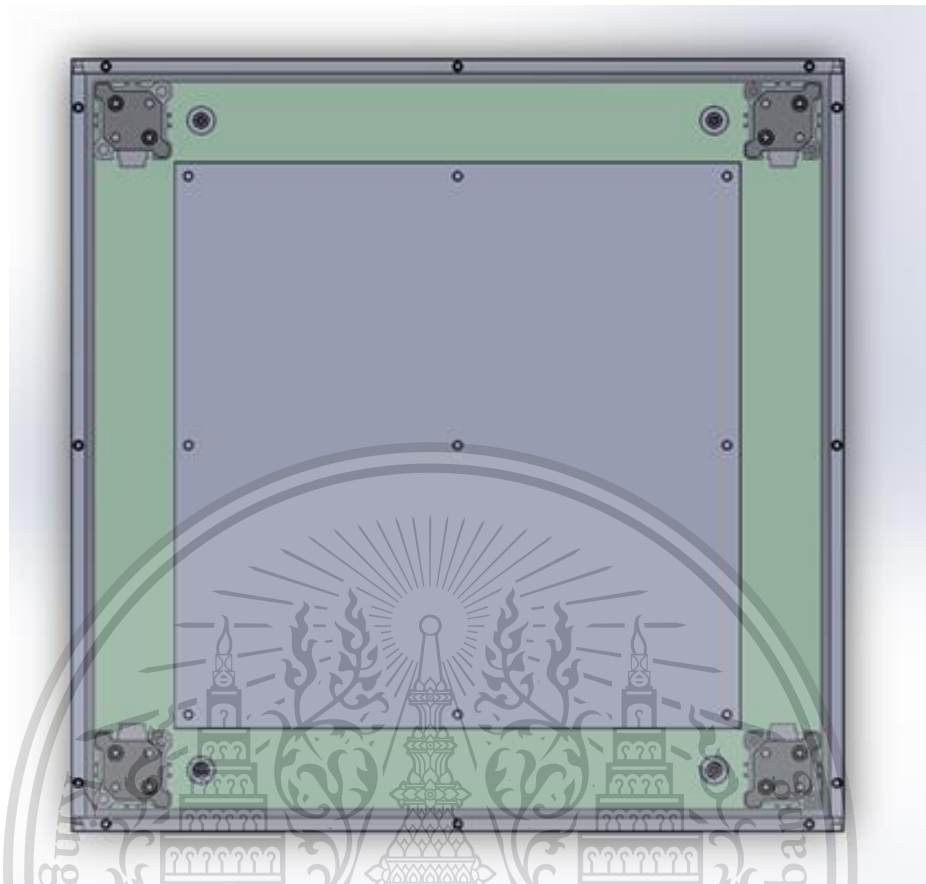


รูปที่ 3.1 พื้นเก็บเกี่ยวพลังงาน

เอกสารนี้เป็นเอกสารที่สงวนไว้สำหรับการใช้งานเพื่อการศึกษาเท่านั้น ไม่อนุญาตให้นำไปใช้ประโยชน์ด้านการค้า
ไม่ว่ากรณีใดๆทั้งสิ้น อีกทั้งห้ามมิให้ดัดแปลงเนื้อหา และต้องอ้างอิงถึงเจ้าของเอกสารทุกครั้งที่มีการนำไปใช้

This material is reserved for educational use only, not allowed for commercial use.

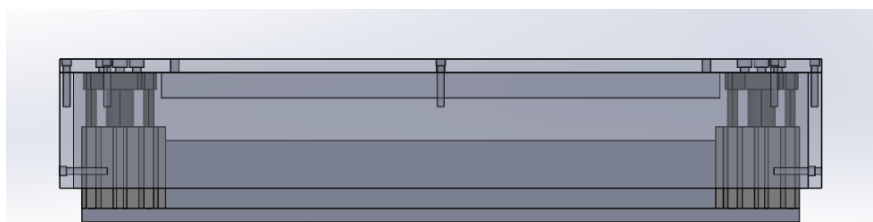
Forbidden to modify the content, and cite the document when use.



รูปที่ 3.2 แบบด้านบนของพื้นเก็บเกี่ยวพลังงาน



รูปที่ 3.3 แบบด้านหน้าของพื้นเก็บเกี่ยวพลังงาน



รูปที่ 3.4 ด้านข้างของพื้นเก็บเกี่ยวพลังงาน

เอกสารนี้เป็นเอกสารที่สงวนไว้สำหรับการใช้งานเพื่อการศึกษาเท่านั้น ไม่อนุญาตให้นำไปใช้ประโยชน์ด้านการค้า
ไม่ว่ากรณีใดๆทั้งสิ้น อีกทั้งห้ามมิให้ตัดแปลงเนื้อหา และต้องอ้างอิงถึงชื่อเอกสารทุกครั้งที่มีการนำไปใช้

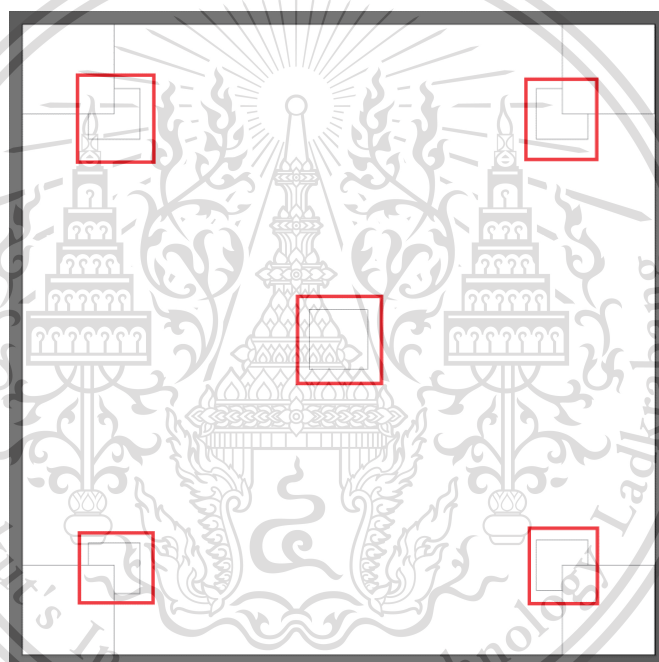
This material is reserved for educational use only, not allowed for commercial use.

Forbidden to modify the content, and cite the document when use.

3.2 การออกแบบโครงสร้างภายในของพื้นที่เก็บเกี่ยวพลังงาน

ระยะห่างจากฝ้าด้านบนและฐานด้านล่างมีระยะห่างกัน 8 เซนติเมตร เมื่อฝ้าด้านบนยุบตัวลงมาจะเหลือระยะห่างกันที่ 6.5 เซนติเมตร จึงต้องมีการติดตั้งในเพิ่มเติมเพื่อให้แผ่นด้านบนที่ติดแผ่นอะลูมิเนียมสามารถชนกับแผ่นวัสดุโพรโบอิเล็คทริกได้

การออกแบบเสาเพื่อนำเข้ามาติดตั้งเพิ่มบริเวณมุมรอบ ๆ และตรงกลางของฝ้าด้านบนและฐานด้านล่าง ซึ่งใช้โปรแกรม Solid Works ในการออกแบบ เสาทุกเสาจะมีความสูงเท่ากันทั้งด้านบนและด้านล่างที่ 2.7 เซนติเมตร และเมื่อออกแบบเสร็จแล้วจะสั่งพิมพ์ผ่านเครื่องพิมพ์ 3 มิติ (3D Printer) แล้วจะมีแผ่นอะคริลิกขนาดหนา 0.5 เซนติเมตรสอดเชื่อมกันทุกเสาในแนวตั้งเพื่อช่วยรับน้ำหนักและเพิ่มความแข็งแรงภายในพื้นที่เมื่อมีการใช้งาน



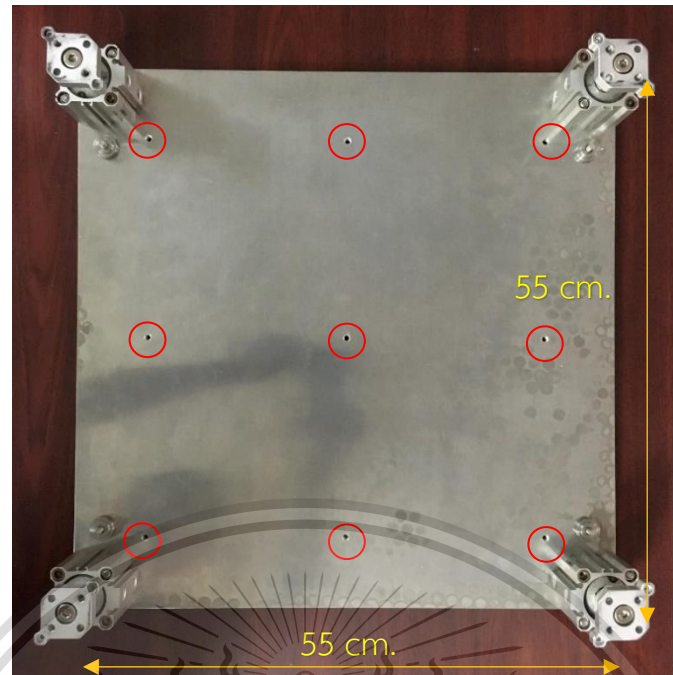
รูปที่ 3.5 การวางตำแหน่งของเสาแต่ละต้น

กรอบสี่เหลี่ยมสีแดงจากรูปที่ 3.5 จะแสดงถึงตำแหน่งที่นำเสาที่ออกแบบมาไปติดตั้งบริเวณตรงกลางและทั้งสี่มุมของพื้นที่ ซึ่งจะติดตั้งในตำแหน่งเดียวกันทั้งฝ้าด้านบนและฐานด้านล่าง

เอกสารนี้เป็นเอกสารที่สงวนไว้สำหรับการใช้งานเพื่อการศึกษาเท่านั้น ไม่อนุญาตให้นำไปใช้ประโยชน์ด้านการค้า
ไม่ว่ากรณีใดๆทั้งสิ้น อีกทั้งห้ามมิให้ดัดแปลงเนื้อหา และต้องอ้างอิงถึงเจ้าของเอกสารทุกครั้งที่มีการนำไปใช้

This material is reserved for educational use only, not allowed for commercial use.

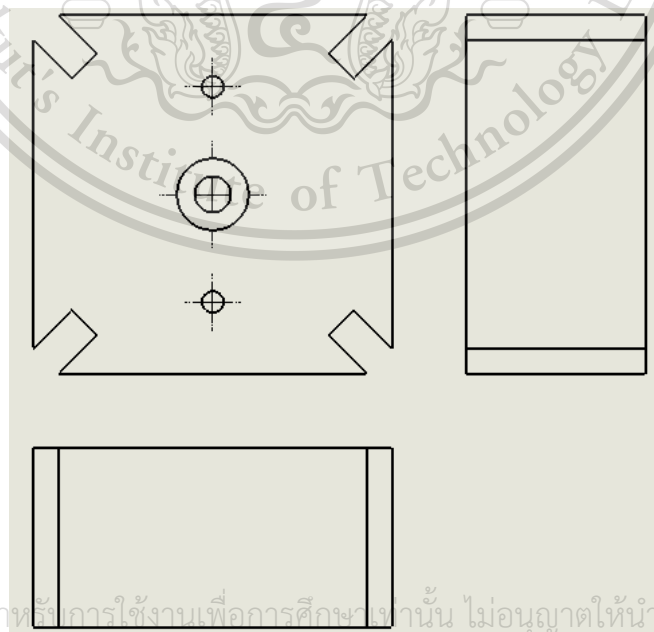
Forbidden to modify the content, and cite the document when use.



รูปที่ 3.6 ตำแหน่งสำหรับยึดเสากับพื้นด้วยสกรู

บริเวณวงกลมสีแดงจากรูปที่ 3.6 จะแสดงถึงตำแหน่งที่ใช้เสาทุกเสายึดติดกับพื้นด้วยสกรู โดยในการออกแบบเสาแต่ละเสาจะมีการออกแบบให้ตำแหน่งของสกรูอยู่บริเวณกึ่งกลางของเสาทุกเสา

3.2.1 การออกแบบเสาสำหรับติดตั้งบริเวณตรงกลางของพื้น



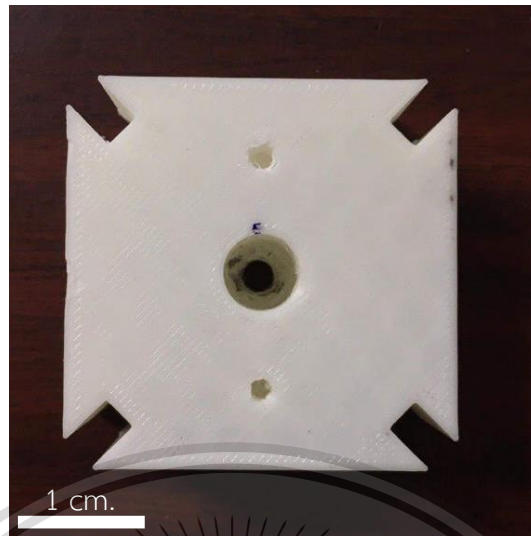
รูปที่ 3.7 แบบเสาที่ติดตั้งบริเวณตรงกลางของพื้นทั้งฝาด้านบนและฐานด้านล่างที่มีการนำไปใช้

เอกสารนี้เป็นเอกสารที่สงวนไว้สำหรับการใช้งานเพื่อการศึกษาเท่านั้น ไม่อนุญาตให้นำไปใช้ประโยชน์ด้านการค้า

ไม่ว่ากรณีใดๆทั้งสิ้น อีเมล: it@kmitl.ac.th หรือ โทร: 0-2321-6100

This material is reserved for educational use only, not allowed for commercial use.

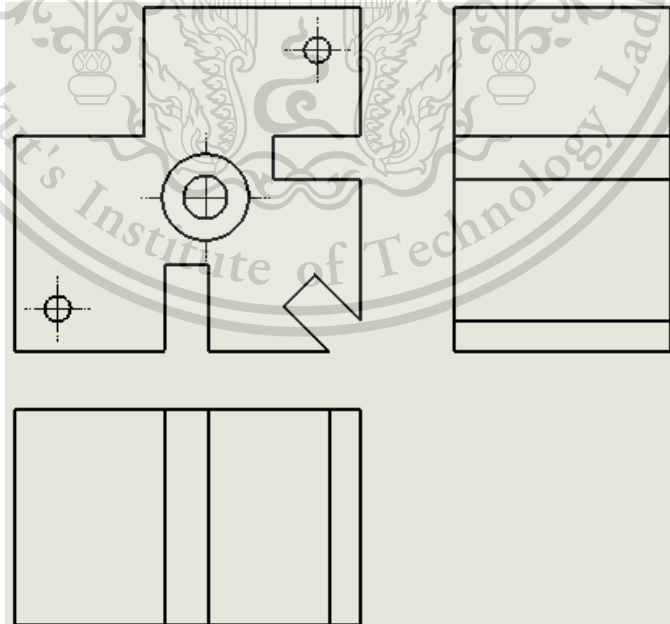
Forbidden to modify the content, and cite the document when use.



รูปที่ 3.8 เสาค่ติดบริเวณตรงกลางของพื้นทั้งผาด้านบนและฐานด้านล่าง

การติดตั้งเสาบริเวณตรงกลางของพื้นจะใช้เสาที่เป็นแบบเดียวกันทั้งผาด้านบนและฐานด้านล่าง จากแบบเสาในรูปที่ 3.7 และรูปเสาในรูปที่ 3.8 จะมีการเว้นระยะมุมทั้งสี่มุมเข้ามาเพื่อใช้สำหรับการสอดแผ่นอะคริลิกที่หนา 0.5 เซนติเมตรและเชื่อมต่อกับเสาบริเวณมุมทั้งสี่มุมของพื้น และเว้นรูตรงกลางเพื่อใช้สกรูในการยึดติดกับพื้น

3.2.2 การแบบเสาสำหรับติดตั้งบริเวณมุมทั้งสี่มุมของพื้น

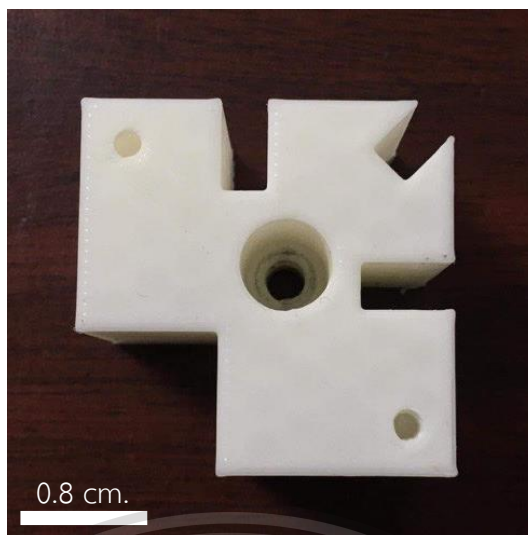


รูปที่ 3.9 แบบเสาที่ติดบริเวณมุมทั้ง 4 มุมของพื้นทั้งผาด้านบนและฐานด้านล่าง

เอกสารนี้เป็นเอกสารที่สงวนไว้สำหรับการใช้งานเพื่อการศึกษาเท่านั้น ไม่อนุญาตให้นำไปใช้ประโยชน์ด้านการค้า
ไม่ว่ากรณีใดๆทั้งสิ้น อีกทั้งห้ามมิให้ดัดแปลงเนื้อหา และต้องอ้างอิงถึงเจ้าของเอกสารทุกครั้งที่มีการนำไปใช้

This material is reserved for educational use only, not allowed for commercial use.

Forbidden to modify the content, and cite the document when use.



รูปที่ 3.10 เสาค่ติดบริเวณมุมทั้ง 4 มุมของพื้นทั้งฝาด้านบนและฐานด้านล่าง

การติดตั้งเสาบบริเวณมุมทั้งสี่มุมของพื้นจากแบบเสาในรูปที่ 3.9 และรูปเสาในรูปที่ 3.10 จะมีออกแบบให้มีการเว้นระยะสำหรับการสอดแผ่นอะคริลิกทั้งหมด 3 ตำแหน่ง คือด้านข้างของบริเวณเสาสองด้านละมุมหนึ่งมุมที่อยู่ระหว่างด้านสองด้าน เพื่อใช้สำหรับการสอดแผ่นอะคริลิกเข้ากับเสามุมอื่น ๆ และเสากลางที่จะช่วยรับน้ำหนักเมื่อมีการใช้งาน

3.3 การติดตั้งภายในของพื้นเก็บเกี่ยวพลังงาน

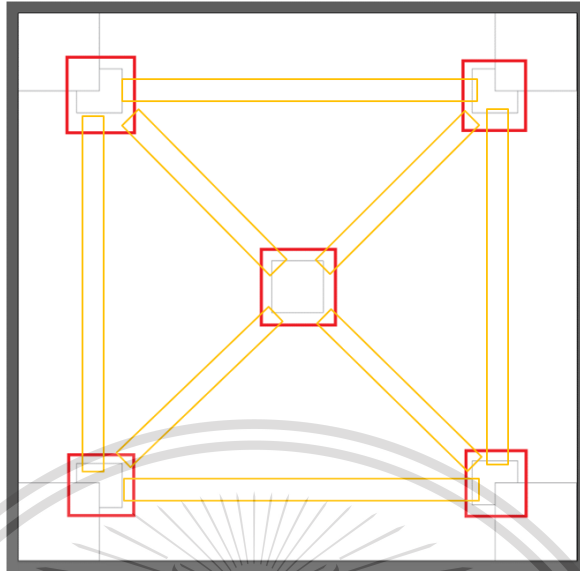
การออกแบบเสาทั้งหมดจะมีการติดตั้งในตำแหน่งเดียวกันทั้งฝาด้านบนและฐานด้านล่างของพื้น ซึ่งจะมีเสากลางรวมทั้งด้านบนและด้านล่างจำนวน 2 เสาค และมีเสาบบริเวณมุมรอบ ๆ รวมด้านบนและด้านล่างทั้งหมด 8 เสาค เมื่อทำการติดตั้งเสาทั้งหมดเสร็จเรียบร้อยแล้ว ขั้นตอนต่อไปจะเป็นการสอดแผ่นอะคริลิกหนา 0.5 เซนติเมตร ที่มีความสูงเท่ากับเสาที่ออกแบบมาเพื่อช่วยรับน้ำหนักของพื้นเมื่อมีการใช้งาน

เอกสารนี้เป็นเอกสารที่สงวนไว้สำหรับการใช้งานเพื่อการศึกษาเท่านั้น ไม่อนุญาตให้นำไปใช้ประโยชน์ด้านการค้า
ไม่ว่ากรณีใดๆทั้งสิ้น อีกทั้งห้ามมิให้ดัดแปลงเนื้อหา และต้องอ้างอิงถึงเจ้าของเอกสารทุกครั้งที่มีการนำไปใช้

This material is reserved for educational use only, not allowed for commercial use.

Forbidden to modify the content, and cite the document when use.

3.3.1 การติดตั้งเสาและแผ่นอะคริลิก



รูปที่ 3.11 การแสดงการติดตั้งเสาและแผ่นอะคริลิก



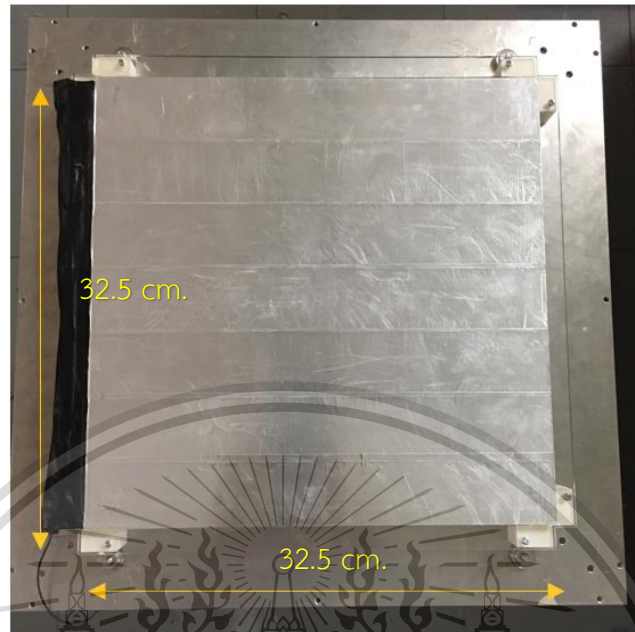
รูปที่ 3.12 การติดตั้งเสาและเชื่อมอะคริลิกเชื่อมกับเสาทั้งหมด

ตำแหน่งสีแดงจากรูปที่ 3.11 จะหมายถึงตำแหน่งของการติดตั้งเสาและสีเหลืองจะหมายถึงตำแหน่งของการสอดแผ่นอะคริลิกเข้าด้วยกันกับเสาทุกเสา ซึ่งจะติดตั้งในลักษณะเดียวกันทั้งผาด้านบนและฐานด้านล่าง และเมื่อติดตั้งเสาและแผ่นอะคริลิกเรียบร้อยแล้วจะมีลักษณะดังรูปที่ 3.12 หลังจากนั้นจะปิดเสาและอะคริลิกที่มีการติดตั้งไปก่อนหน้านี้ด้วยแผ่นอะคริลิกหนา 0.3 เซนติเมตรทั้งผาด้านบนและฐานด้านล่าง

This material is reserved for educational use only, not allowed for commercial use.

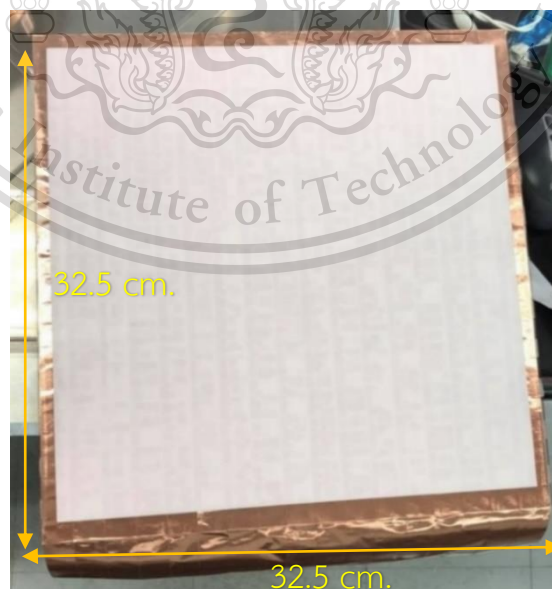
Forbidden to modify the content, and cite the document when use.

3.3.2 การติดตั้งแผ่นอะลูมิเนียมและแผ่นเทปลอน



รูปที่ 3.13 แผ่นอะลูมิเนียม

แผ่นอะลูมิเนียมจะนำไปติดบนแผ่นอะคริลิกขนาด 32.5x32.5x0.3 เซนติเมตรดังรูปที่ 3.13 ซึ่งจะติดตั้งในส่วนของฝาด้านบนของพื้นหลังจากมีการประกอบเสาและแผ่นอะคริลิกในส่วนก่อนหน้าแล้ว



รูปที่ 3.14 แผ่นทองแดงและแผ่นเทปลอน

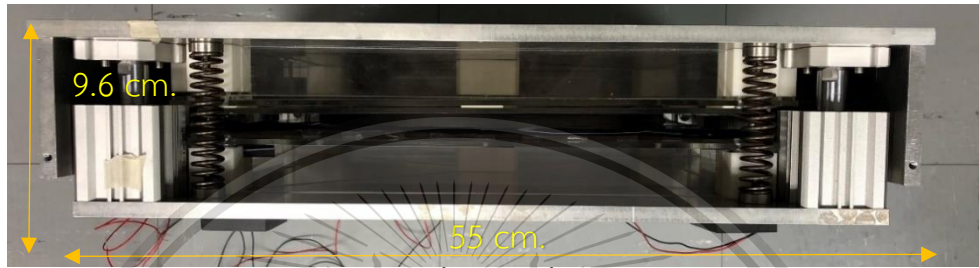
เอกสารนี้เป็นเอกสารที่สงวนไว้สำหรับการศึกษาเท่านั้น ไม่ให้นำไปใช้ประโยชน์ด้านการค้า
ไม่ว่ากรณีใดๆทั้งสิ้น อีกทั้งห้ามมิให้ตัดแปลงเนื้อหา และต้องอ้างอิงถึงเจ้าของเอกสารทุกครั้งที่มีการนำไปใช้

This material is reserved for educational use only, not allowed for commercial use.

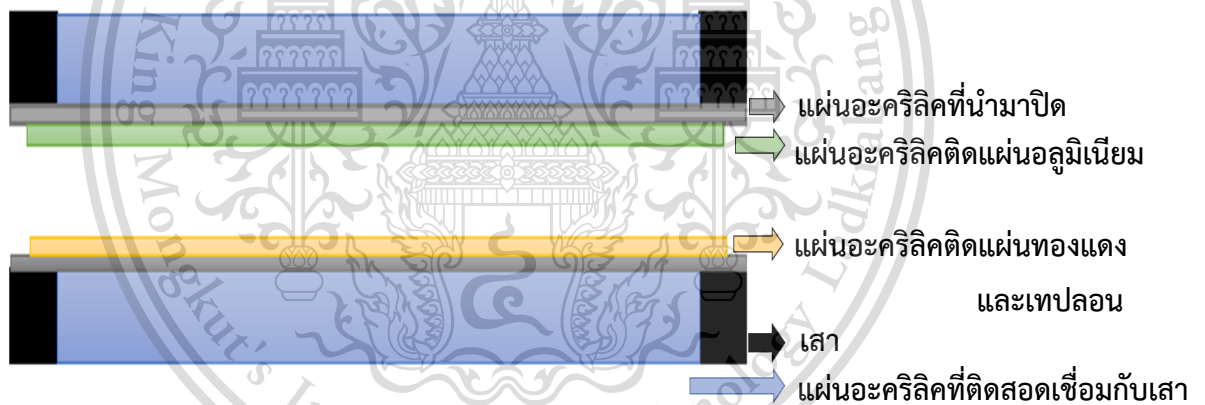
Forbidden to modify the content, and cite the document when use.

แผ่นทองแดงจะไปติดบนแผ่นอะคริลิกขนาด $32.5 \times 32.5 \times 0.3$ เซนติเมตรดังรูปที่ 3.14 แล้วติดแผ่นเทปลอนที่เป็นวัสดุโพรโบลีกริกด้านบนบนแผ่นทองแดง ซึ่งจะวางไว้บนแผ่นอะคริลิกที่ปิดเสาไว้ด้านล่าง

3.4 สรุปการติดตั้งภายในพื้นที่เก็บเกี่ยวพลังงาน



รูปที่ 3.15 การติดตั้งภายในพื้นที่เก็บเกี่ยวพลังงาน



รูปที่ 3.16 การจำลองการติดตั้งภายในพื้นที่เก็บเกี่ยวพลังงาน

จากรูปที่ 3.16 จะเป็นการจำลองการติดตั้งภายในพื้นที่เก็บเกี่ยวพลังงานจากรูปที่ 3.15 และเมื่อมีการติดตั้งทุกชิ้นส่วนเสร็จสมบูรณ์แล้วจะสามารถสรุปความสูงและความหนาของสิ่งทีนำมาติดตั้งภายในพื้นที่ได้ดังตารางที่ 3.1

เอกสารนี้เป็นเอกสารที่สงวนไว้สำหรับการใช้งานเพื่อการศึกษาเท่านั้น ไม่อนุญาตให้นำไปใช้ประโยชน์ด้านการค้า
ไม่ว่ากรณีใดๆทั้งสิ้น อีกทั้งห้ามมิให้ดัดแปลงเนื้อหา และต้องอ้างอิงถึงเจ้าของเอกสารทุกครั้งที่มีการนำไปใช้

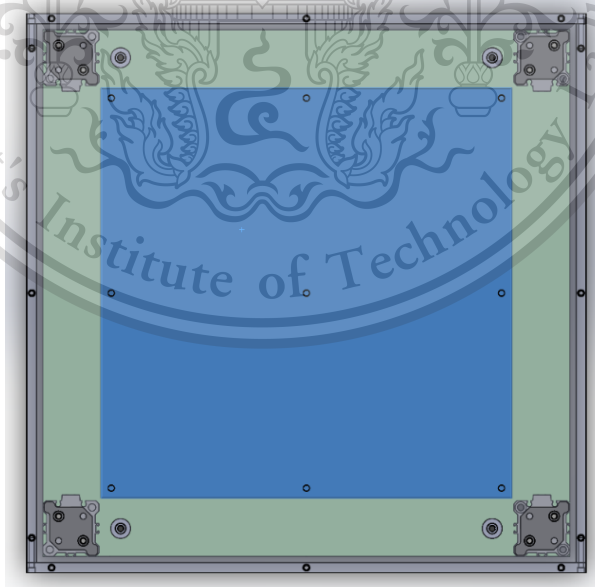
This material is reserved for educational use only, not allowed for commercial use.

Forbidden to modify the content, and cite the document when use.

ตารางที่ 3.1 ตารางความสูง/หนาของอุปกรณ์ที่นำมาติดตั้งในของพื้น

อุปกรณ์ที่นำมาติดตั้งในของพื้น	สูง/หนา (เซนติเมตร)
เสาล่าง และ แผ่นอะคริลิกที่ติดสอดเชื่อมกับเสา	2.7
เสาบน และ แผ่นอะคริลิกที่ติดสอดเชื่อมกับเสา	2.7
แผ่นอะคริลิกที่นำมาปิดเสาบน	0.3
แผ่นอะคริลิกที่นำมาปิดเสาล่าง	0.3
แผ่นอะคริลิกที่ติดแผ่นทองแดงและเทปลอน	0.3
แผ่นเทปลอน	0.1
แผ่นอะคริลิกที่ติดแผ่นอลูมิเนียม	0.3
รวม	6.7

ระยะห่างระหว่างแผ่นบนแล้วฐานล่างห่างกัน 6.5 เซนติเมตร แต่อุปกรณ์ที่นำมาติดตั้งในนั้นมีความสูงรวมกันที่ 6.7 เซนติเมตร หากสูงเท่ากันที่ 6.5 เซนติเมตร จะทำให้ด้านบนและด้านล่างแค้สัมผัสกันเบา ๆ แต่จะไม่ชนกัน จึงออกแบบให้มีความสูงเพิ่มขึ้นเพื่อที่จะให้แผ่นวัสดุ Triboelectric และแผ่นอลูมิเนียมสามารถชนกันได้อย่างเต็มที่ เมื่อประกอบเสร็จสมบูรณ์จะได้แผ่นอลูมิเนียมและแผ่นเทปลอนที่เป็นวัสดุไทรโบอิเล็กทริกวางไว้ตรงกันในตำแหน่งสีฟ้าดังรูปที่ 3.17



รูปที่ 3.17 แบบพื้นเสร็จสมบูรณ์จากมุมบน

เอกสารนี้เป็นเอกสารที่สงวนไว้สำหรับการใช้งานเพื่อการศึกษาเท่านั้น ไม่อนุญาตให้นำไปใช้ประโยชน์ด้านการค้า
ไม่ว่ากรณีใดๆทั้งสิ้น อีกทั้งห้ามมิให้ดัดแปลงเนื้อหา และต้องอ้างอิงถึงเจ้าของเอกสารทุกครั้งที่มีการนำไปใช้

This material is reserved for educational use only, not allowed for commercial use.

Forbidden to modify the content, and cite the document when use.

บทที่ 4

การทดลองคุณสมบัติเฉพาะของพื้นเก็บเกี่ยวพลังงานหลักการโทรโบอิลิกทริก

4.1 การทดลองพื้นเก็บเกี่ยวพลังงานหลักการโทรโบอิลิกทริก

เมื่อโครงสร้างภายในของพื้นเก็บเกี่ยวพลังงานในแต่ละแบบเสร็จสิ้น จะเป็นการทำการทดลองเทียบพื้นเก็บเกี่ยวพลังงานเพื่อหาค่าแรงดันไฟฟ้า กระแสไฟฟ้า และกำลังไฟฟ้าที่สูงที่สุดและเหมาะสมที่สุด โดยการหาค่าความต้านทานภายในของวัสดุโทรโบอิลิกทริกภายในโครงสร้างของพื้นเก็บเกี่ยวพลังงานนี้

สำหรับการทดลองเทียบพื้นเก็บเกี่ยวพลังงานนี้จะแบ่งออกเป็น 4 แบบ โดยการทดลองทั้ง 4 แบบใช้วัสดุที่มีคุณสมบัติความเป็นโทรโบอิลิกทริกชนิดเดียวกัน ซึ่งก็คือวัสดุเทปลอนขนาด 0.1 มิลลิเมตร หรือเท่ากับความหนาของกระดาษ A4 1 แผ่น และระยะห่างระหว่างโครงสร้างพื้นด้านบนกับพื้นด้านล่าง มีระยะเท่ากับ 15 มิลลิเมตร แต่สิ่งที่แตกต่างกันคือโครงสร้างภายในพื้นของแต่ละแบบ เพื่อเปรียบเทียบว่าโครงสร้างแบบใดจะได้ค่าคุณสมบัติเฉพาะมากที่สุดและเหมาะสมที่สุด

4.2 อุปกรณ์ที่ใช้สำหรับการทดลองเปรียบเทียบคุณสมบัติเฉพาะของพื้น

1. พื้นเก็บเกี่ยวพลังงาน และโครงสร้างภายในพื้นเก็บเกี่ยวพลังงาน 2 แบบ
2. Oscilloscope
3. วงจรสำหรับการทดลอง (Voltage Divider)
4. ตัวต้านทานปรับค่าได้ (0.1-100 M Ω)
5. ตัวต้านทาน 100 k Ω

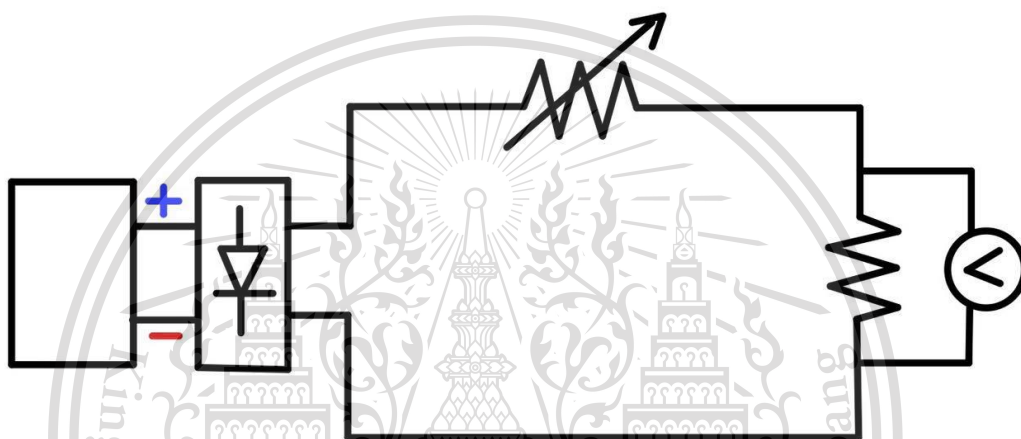
เอกสารนี้เป็นเอกสารที่สงวนไว้สำหรับการใช้งานเพื่อการศึกษาเท่านั้น ไม่อนุญาตให้นำไปใช้ประโยชน์ด้านการค้า
ไม่ว่ากรณีใดๆทั้งสิ้น อีกทั้งห้ามมิให้ดัดแปลงเนื้อหา และต้องอ้างอิงถึงเจ้าของเอกสารทุกครั้งที่มีการนำไปใช้

This material is reserved for educational use only, not allowed for commercial use.

Forbidden to modify the content, and cite the document when use.

4.3 ขั้นตอนการทดลอง

สำหรับการทดลองพื้นเก็บเกี่ยวพลังงานหลักการทรานซิสเตอร์จะเป็นการเทียบพื้นเพื่อหาค่าแรงดันไฟฟ้า กระแสไฟฟ้า และกำลังไฟฟ้าสูงสุดที่ได้จากโครงสร้างภายในแต่ละแบบ ลักษณะการเทียบในแต่ละแบบจะเหมือนกัน คือในแต่ละค่าความต้านทาน 1 ค่าจะเทียบทั้งหมด 10 ครั้งหาค่าแรงดันไฟฟ้า จากนั้นคัดเลือกค่าแรงดันไฟฟ้าจำนวน 5 ค่า ที่มีความใกล้เคียงกันแล้วนำมาคำนวณหาค่ากระแสไฟฟ้า กำลังไฟฟ้า และวาดกราฟผลการทดลอง โดยจะทำการเทียบทั้งหมดตั้งแต่ค่าความต้านทาน $0.1 \text{ M}\Omega$ ไปจนถึง $200 \text{ M}\Omega$ หรือจนกว่าจะเจอค่าความต้านทานภายในของวัสดุทรานซิสเตอร์ที่ทำให้ได้ค่ากำลังไฟฟ้าสูงสุด ซึ่งในการทดลองจะต่อวงจรดังรูปที่ 4.1



รูปที่ 4.1 การต่อวงจรที่ใช้ในการทดลอง

4.3.1 แบบพื้นฐาน

วิธีการทดลองจะนำโครงสร้างพื้นเก็บเกี่ยวพลังงานทรานซิสเตอร์จำนวน 1 เซลล์ขนาด 30×30 เซนติเมตรต่อผ่านวงจรเรียงกระแสที่มีคุณลักษณะเป็นวงจรบริดจ์ไดโอด แล้วนำไปต่อเข้ากับวงจรถ่ายโอนกำลังไฟฟ้าสูงสุด (Maximum power transfer) เพื่อเทียบหาค่าความต้านทานภายในของวัสดุทรานซิสเตอร์แบบพื้นฐาน

ผลการทดลองจะได้ค่า Optimal load ที่ $85 \text{ M}\Omega$ กำลังไฟฟ้าสูงสุดมีค่า $4.733 \text{ }\mu\text{W}$ และได้กระแสไฟฟ้า $0.240 \text{ }\mu\text{A}$

เอกสารนี้เป็นเอกสารที่สงวนไว้สำหรับการใช้งานเพื่อการศึกษาเท่านั้น ไม่อนุญาตให้นำไปใช้ประโยชน์ด้านการค้า
ไม่ว่ากรณีใดๆทั้งสิ้น อีกทั้งห้ามมิให้ดัดแปลงเนื้อหา และต้องอ้างอิงถึงเจ้าของเอกสารทุกครั้งที่มีการนำไปใช้

This material is reserved for educational use only, not allowed for commercial use.

Forbidden to modify the content, and cite the document when use.

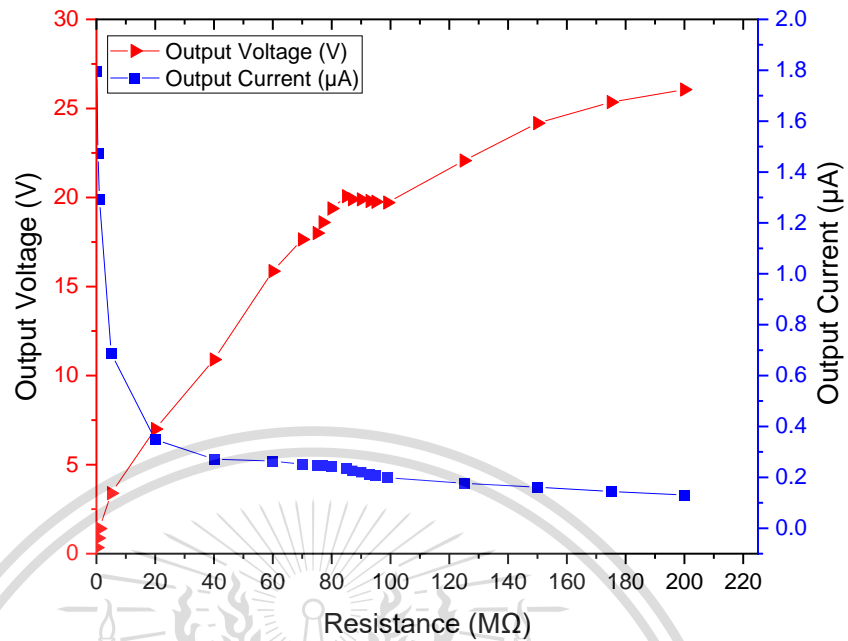
ตารางที่ 4.1 ผลการทดลองแบบพื้นฐาน

	R2:100k Ω	Rp:1M Ω						V(R2)	V(Tribo)		
R1 (M Ω)	R2 (M Ω)	R2//Rp	Vm1 (mV)	Vm2 (mV)	Vm3 (mV)	Vm4 (mV)	Vm5 (mV)	Vm(avg) (mV)	Vs (V)	Pout (μ W)	I (μ A)
0.1	0.1	0.0909	160	164	166	162	164	163.20	0.34	0.6152509	1.80
0.5	0.1	0.0909	136	132	136	134	132	134.00	0.87	1.2838540	1.47
1	0.1	0.0909	122	116	120	116	114	117.60	1.41	1.8255283	1.29
5	0.1	0.0909	61	64	62	62	63	62.40	3.39	2.3985562	0.69
20	0.1	0.0909	30.8	32.4	31.2	32.4	31.6	31.68	7.00	2.4398061	0.35
40	0.1	0.0909	25.2	25.2	24.4	23.6	25.2	24.72	10.90	2.9643413	0.27
60	0.1	0.0909	24	24.8	24.4	23.6	23.2	24.00	15.86	4.1880960	0.26
70	0.1	0.0909	23.2	23.6	23.2	21.6	22.8	22.88	17.64	4.4397560	0.25
80	0.1	0.0909	21.6	22.4	21.6	21.6	22.8	22.00	19.38	4.6904440	0.24
85	0.1	0.0909	22	20.8	22	21.2	21.2	21.44	20.07	4.7327994	0.24
90	0.1	0.0909	21.2	20.4	19.6	19.6	19.6	20.08	19.89	4.3953530	0.22
95	0.1	0.0909	18.8	18.4	18.8	20	18.4	18.88	19.75	4.1013643	0.21
99	0.1	0.0909	18.4	18.4	18	17.2	18.4	18.08	19.71	3.9193679	0.20
125	0.1	0.0909	15.6	15.6	16.4	16.8	15.8	16.04	22.07	3.8942143	0.18
150	0.1	0.0909	15.2	15.2	14.4	14.4	14	14.64	24.17	3.8924399	0.16
175	0.1	0.0909	12.6	12.8	13.6	13.6	13.2	13.16	25.35	3.6691101	0.14
200	0.1	0.0909	12.2	11.8	11.8	11.8	11.6	11.84	26.06	3.3940336	0.13

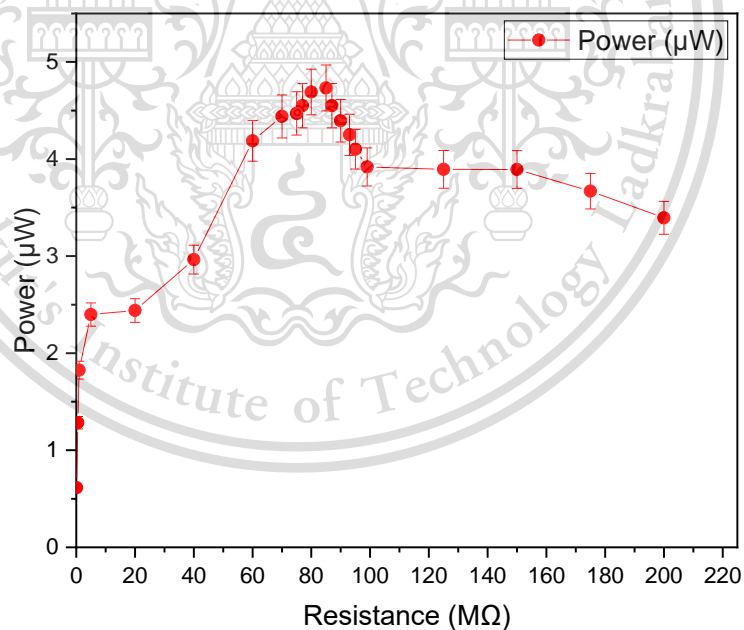
เอกสารนี้เป็นเอกสารที่สงวนไว้สำหรับการใช้งานเพื่อการศึกษาเท่านั้น ไม่อนุญาตให้นำไปใช้ประโยชน์ด้านการค้า
ไม่ว่ากรณีใดๆทั้งสิ้น อีกทั้งห้ามมิให้ดัดแปลงเนื้อหา และต้องอ้างอิงถึงเจ้าของเอกสารทุกครั้งที่มีการนำไปใช้

This material is reserved for educational use only, not allowed for commercial use.

Forbidden to modify the content, and cite the document when use.



รูปที่ 4.2 แรงดันและกระแสไฟฟ้าของแบบพื้นฐาน



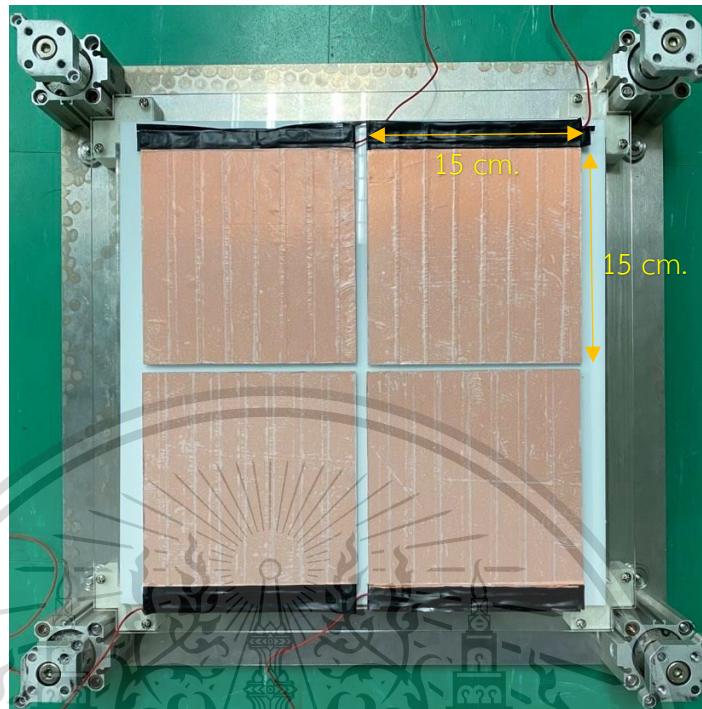
รูปที่ 4.3 กำลังไฟฟ้าของแบบพื้นฐาน

เอกสารนี้เป็นเอกสารที่สงวนไว้สำหรับการใช้งานเพื่อการศึกษาเท่านั้น ไม่อนุญาตให้นำไปใช้ประโยชน์ด้านการค้า
ไม่ว่ากรณีใดๆทั้งสิ้น อีกทั้งห้ามมิให้ดัดแปลงเนื้อหา และต้องอ้างอิงถึงเจ้าของเอกสารทุกครั้งที่มีการนำไปใช้

This material is reserved for educational use only, not allowed for commercial use.

Forbidden to modify the content, and cite the document when use.

4.3.2 แบบแยกเซลล์ต่อขนาน



รูปที่ 4.4 แบบแยกเซลล์ 4 เซลล์

วิธีการทดลองจะนำโครงสร้างพื้นเก็บเกี่ยวพลังงานไทรโบอิเล็กทริกจำนวน 4 เซลล์ขนาดเซลล์ละ 15x15 เซนติเมตรต่อผ่านวงจรเรียงกระแสที่มีคุณลักษณะเป็นวงจรบริดจ์ไดโอด โดย 1 เซลล์จะต่อเข้ากับวงจรบริดจ์ไดโอดจำนวน 1 วงจรแล้วต่อขนานกันทั้ง 4 เซลล์ จากนั้นนำไปต่อกับวงจรถ่ายโอนกำลังไฟฟ้าสูงสุด (Maximum power transfer) เพื่อหาค่าความต้านทานภายในของวัสดุไทรโบอิเล็กทริกแบบเซลล์ย่อยนี้

เอกสารนี้เป็นเอกสารที่สงวนไว้สำหรับการใช้งานเพื่อการศึกษาเท่านั้น ไม่อนุญาตให้นำไปใช้ประโยชน์ด้านการค้า
ไม่ว่ากรณีใดๆทั้งสิ้น อีกทั้งห้ามมิให้ดัดแปลงเนื้อหา และต้องอ้างอิงถึงเจ้าของเอกสารทุกครั้งที่มีการนำไปใช้

This material is reserved for educational use only, not allowed for commercial use.

Forbidden to modify the content, and cite the document when use.

ตารางที่ 4.2 ผลการทดลองแบบแยกเซลล์ต่อขนาน

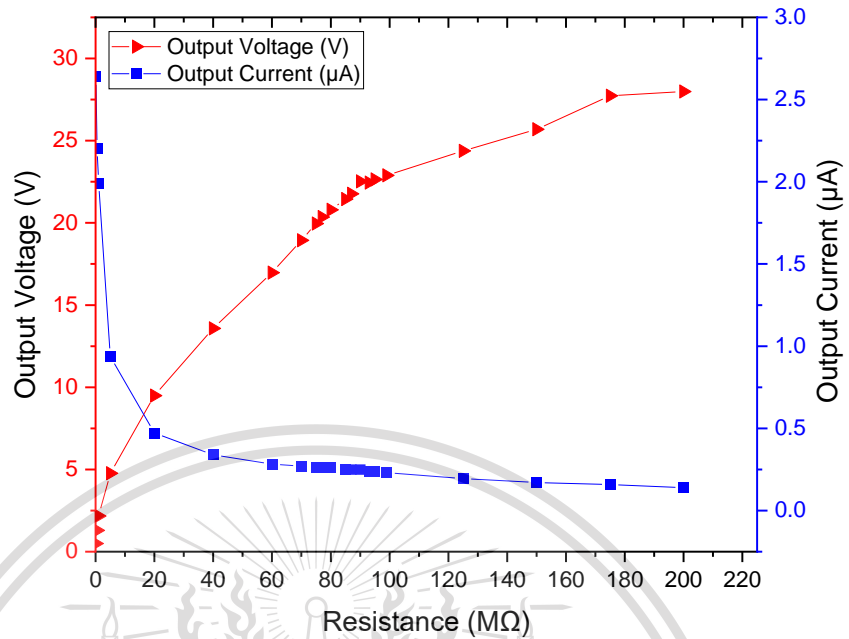
	R2:100k Ω	Rp:1M Ω						V(R2)	V(Tribo)		
R1 (M Ω)	R2 (M Ω)	R2//Rp	Vm1 (mV)	Vm2 (mV)	Vm3 (mV)	Vm4 (mV)	Vm5 (mV)	Vm(avg) (mV)	Vs (V)	Pout (μ W)	I (μ A)
0.1	0.1	0.0909	242	238	232	244	244	240.00	0.50	1.3305600	2.64
0.5	0.1	0.0909	206	196	202	194	204	200.40	1.30	2.8714514	2.20
1	0.1	0.0909	182	183	191	174	176	181.20	2.17	4.3340141	1.99
5	0.1	0.0909	88	84	86	88	80	85.20	4.77	4.4715686	0.94
20	0.1	0.0909	43.6	42	42.4	43.4	43.4	42.96	9.49	4.4865602	0.47
40	0.1	0.0909	30.8	31.2	30.8	31	30.6	30.80	13.58	4.6018526	0.34
60	0.1	0.0909	26.2	25.6	26	25	25.6	25.68	16.97	4.7949511	0.28
70	0.1	0.0909	25.4	24	23.2	24.8	25.4	24.56	18.94	5.1156849	0.27
75	0.1	0.0909	23.8	23.8	24.2	24.6	24.4	24.16	19.96	5.3035491	0.27
77	0.1	0.0909	23.4	25.2	23.2	23.8	24.4	24.00	20.35	5.3729280	0.26
80	0.1	0.0909	24.4	24	23.6	23	23	23.60	20.79	5.3974994	0.26
85	0.1	0.0909	23	23.4	22.6	23.2	22.4	22.92	21.45	5.4087606	0.25
87	0.1	0.0909	22.6	22.6	22.8	23.2	22.4	22.72	21.77	5.4396987	0.25
90	0.1	0.0909	22.2	22.4	20.4	21.8	22.8	21.92	22.45	5.4121988	0.24
93	0.1	0.0909	22.2	22.4	20.4	21.8	22.8	21.92	22.45	5.4121988	0.24
95	0.1	0.0909	22.6	21.4	21.8	20.8	21.6	21.64	22.64	5.3881401	0.24
99	0.1	0.0909	20.6	20.8	20.6	21	22	21.00	22.89	5.2875900	0.23
125	0.1	0.0909	18.6	18	17	17.2	17.8	17.72	24.38	4.7526798	0.19
150	0.1	0.0909	15.2	15.2	15.4	15.4	16.6	15.56	25.69	4.3970251	0.17
175	0.1	0.0909	14.6	14.8	14.4	14.4	13.8	14.40	27.73	4.3931290	0.16
200	0.1	0.0909	12.8	12.8	12.8	12.8	12.4	12.72	27.99	3.9173011	0.14

ผลการทดลองจะได้ค่า Optimal load ที่ 90 M Ω กำลังไฟฟ้ามีค่า 5.627 μ W และได้กระแสไฟฟ้า 0.250 μ A

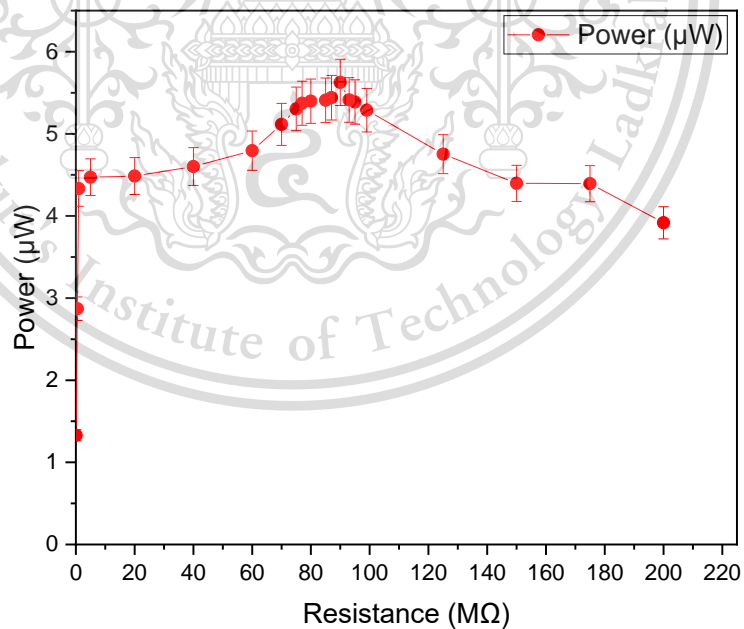
เอกสารนี้เป็นเอกสารที่สงวนไว้สำหรับการใช้งานเพื่อการศึกษาเท่านั้น ไม่อนุญาตให้นำไปใช้ประโยชน์ด้านการค้า
ไม่ว่ากรณีใดๆทั้งสิ้น อีกทั้งห้ามมิให้ดัดแปลงเนื้อหา และต้องอ้างอิงถึงเจ้าของเอกสารทุกครั้งที่มีการนำไปใช้

This material is reserved for educational use only, not allowed for commercial use.

Forbidden to modify the content, and cite the document when use.



รูปที่ 4.5 แรงดันและกระแสไฟฟ้าของแบตเตอรี่ 4 เซลล์



รูปที่ 4.6 กำลังไฟฟ้าของแบตเตอรี่ 4 เซลล์

เอกสารนี้เป็นเอกสารที่สงวนไว้สำหรับการใช้งานเพื่อการศึกษาเท่านั้น ไม่อนุญาตให้นำไปใช้ประโยชน์ด้านการค้า
ไม่ว่ากรณีใดๆทั้งสิ้น อีกทั้งห้ามมิให้ดัดแปลงเนื้อหา และต้องอ้างอิงถึงเจ้าของเอกสารทุกครั้งที่มีการนำไปใช้

This material is reserved for educational use only, not allowed for commercial use.

Forbidden to modify the content, and cite the document when use.

4.3.3 แบบแยกเซลล์ต่ออนุกรม

วิธีการทดลองจะนำโครงสร้างพื้นเก็บเกี่ยวพลังงานโทรโบอิเล็กทรอนิกส์จำนวน 4 เซลล์ขนาดเซลล์ละ 15x15 เซนติเมตรต่อผ่านวงจรเรียงกระแสที่มีคุณลักษณะเป็นวงจรบริดจ์ไดโอด โดย 1 เซลล์จะต่อเข้ากับวงจรบริดจ์ไดโอดจำนวน 1 วงจร แล้วต่ออนุกรมกันทั้ง 4 เซลล์ แล้วนำไปต่อเข้ากับวงจรถ่ายโอนกำลังไฟฟ้าสูงสุด เพื่อหาค่าความต้านทานภายในของวัสดุโทรโบอิเล็กทรอนิกส์แบบพื้นฐาน

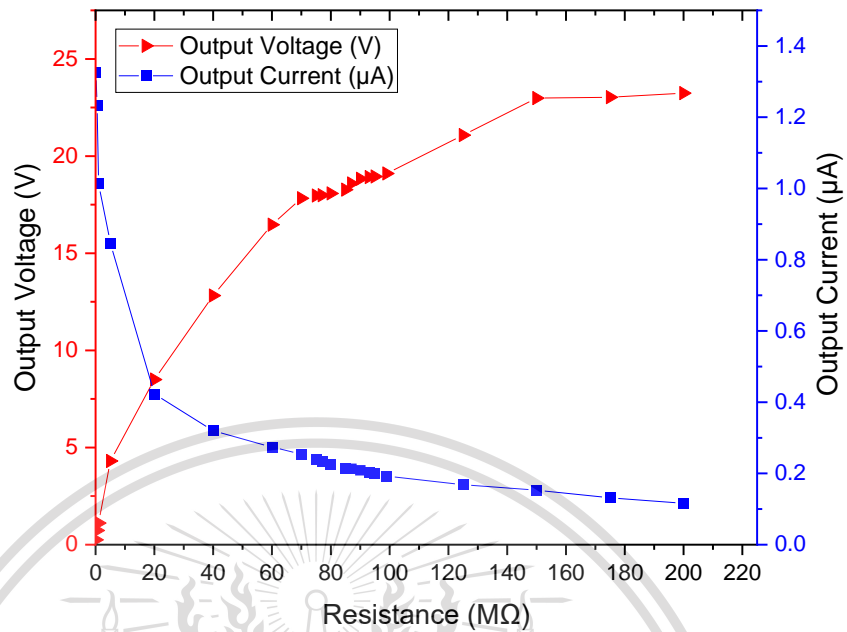
ตารางที่ 4.3 ผลการทดลองแบบแยกเซลล์ต่ออนุกรม

	R2:100k Ω	Rp:1M Ω						V(R2)	V(Tribo)		
R1 (M Ω)	R2 (M Ω)	R2//Rp	Vm1 (mV)	Vm2 (mV)	Vm3 (mV)	Vm4 (mV)	Vm5 (mV)	Vm(avg) (mV)	Vs (V)	Pout (μ W)	I (μ A)
0.1	0.1	0.0909	118	121	124	119	121	120.60	0.25	0.3359747	1.33
0.5	0.1	0.0909	111	113	114	114	109	112.20	0.73	0.9001021	1.23
1	0.1	0.0909	94	92	91	92	92	92.20	1.11	1.1221109	1.01
5	0.1	0.0909	77	76	78	77	77	77.00	4.31	3.6522640	0.85
20	0.1	0.0909	38.8	39.2	38	38.4	38	38.48	8.50	3.5996070	0.42
40	0.1	0.0909	29.4	29.2	28.8	29.2	28.8	29.08	12.82	4.1022307	0.32
60	0.1	0.0909	25.2	25.2	24.8	24.6	24.8	24.92	16.47	4.5153375	0.27
70	0.1	0.0909	23.8	23.4	23	23.4	22	23.12	17.83	4.5333862	0.25
75	0.1	0.0909	22.2	22.2	22	21.2	21.2	21.76	17.97	4.3021992	0.24
77	0.1	0.0909	20.2	21.2	21.2	21.4	22	21.20	17.98	4.1923763	0.23
80	0.1	0.0909	21.4	21.2	20.2	20.2	19.6	20.52	18.08	4.0805932	0.23
85	0.1	0.0909	20.6	21.2	19	18.6	18.2	19.52	18.27	3.9230890	0.21
87	0.1	0.0909	19.2	19.2	19.6	19.8	19.2	19.40	18.59	3.9660817	0.21
90	0.1	0.0909	19	18.4	19.4	18.8	19.4	19.00	18.83	3.9352610	0.21
93	0.1	0.0909	19	17.6	18.2	19	18.6	18.48	18.92	3.8467731	0.20
95	0.1	0.0909	18.8	18	17.8	18.6	17.4	18.12	18.95	3.7778156	0.20
99	0.1	0.0909	17.6	17.6	17.4	17.8	17.2	17.52	19.10	3.6803353	0.19
125	0.1	0.0909	15.4	15.2	15.2	15.4	15.4	15.32	21.08	3.5524555	0.17
150	0.1	0.0909	14.4	13.8	12.8	14.4	14.2	13.92	22.98	3.5189916	0.15
175	0.1	0.0909	12.4	11.4	12	12.2	11.8	11.96	23.03	3.0304793	0.13
200	0.1	0.0909	11.8	10.2	10.8	8.8	11.2	10.56	23.24	2.6998558	0.12

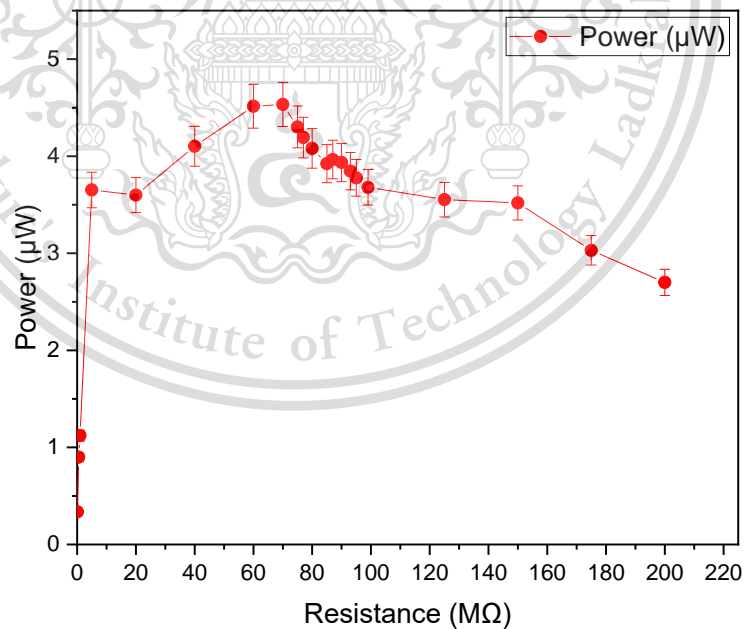
เอกสารนี้เป็นเอกสารที่สงวนไว้สำหรับงานวิจัยเท่านั้น ไม่ควรนำไปใช้ประโยชน์อื่น การค้า
 ผลการทดลองจะได้ค่า Optimal load ที่ 87 M Ω กำลังไฟฟ้ามีค่า 3.966 μ W และได้
 ไม่ว่ากรณีใด กระแสไฟฟ้า 0.210 μ A ที่ตัดแปลงเนื้อหา และต้องอ้างอิงถึงเจ้าของเอกสารทุกครั้งที่มีการนำไปใช้

This material is reserved for educational use only, not allowed for commercial use.

Forbidden to modify the content, and cite the document when use.



รูปที่ 4.7 แรงดันและกระแสไฟฟ้าของแบตเตอรี่ 4 เซลล์



รูปที่ 4.8 กำลังไฟฟ้าของแบตเตอรี่ 4 เซลล์

เอกสารนี้เป็นเอกสารที่สงวนไว้สำหรับการใช้งานเพื่อการศึกษาเท่านั้น ไม่อนุญาตให้นำไปใช้ประโยชน์ด้านการค้า
ไม่ว่ากรณีใดๆทั้งสิ้น อีกทั้งห้ามมิให้ดัดแปลงเนื้อหา และต้องอ้างอิงถึงเจ้าของเอกสารทุกครั้งที่มีการนำไปใช้

This material is reserved for educational use only, not allowed for commercial use.

Forbidden to modify the content, and cite the document when use.

4.3.4 แบบแยกเซลล์ย่อย

วิธีการทดลองจะนำโครงสร้างพื้นเก็บเกี่ยวพลังงานไทรโบอิเล็กทริกขนาดเซลล์ละ 15x15 เซนติเมตรต่อผ่านวงจรเรียงกระแสที่มีคุณลักษณะเป็นวงจรบริดจ์ไดโอด โดยทำการทดลองครั้งละ 1 เซลล์ต่อเข้ากับวงจรบริดจ์ไดโอดจำนวน 1 วงจร จากนั้นนำไปต่อเข้ากับวงจรจ่ายไอพ่นกำลังไฟฟ้าสูงสุด (Maximum power transfer) เพื่อเทียบหาค่าความต้านทานภายในของวัสดุไทรโบอิเล็กทริกแบบแยกเซลล์ย่อย

ตารางที่ 4.4 ผลการทดลองแบบแยกเซลล์ย่อยเซลล์ที่ 1

	R2:100k Ω	Rp:1M Ω						V(R2)	V(Tribo)		
R1 (M Ω)	R2 (M Ω)	R2//Rp	Vm1 (mV)	Vm2 (mV)	Vm3 (mV)	Vm4 (mV)	Vm5 (mV)	Vm(avg) (mV)	Vs (V)	Pout (μ W)	I (μ A)
0.1	0.1	0.0909	204	200	198	192	216	202.00	0.42	0.9425724	2.22
0.5	0.1	0.0909	123	120	124	121	121	121.80	0.79	1.0607197	1.34
1	0.1	0.0909	92	88	85	90	86	88.20	1.06	1.0268597	0.97
5	0.1	0.0909	41.6	40.8	40.8	41.2	39.6	40.80	2.28	1.0254182	0.45
20	0.1	0.0909	20.8	20.2	21.4	20.2	20.8	20.68	4.57	1.0396473	0.23
40	0.1	0.0909	15	15.2	14.6	14.8	14.6	14.84	6.54	1.0683144	0.16
60	0.1	0.0909	12.4	12.8	12	11.2	12.4	12.16	8.04	1.0751308	0.13
70	0.1	0.0909	12	12	12	11.8	11.6	11.88	9.16	1.1969608	0.13
80	0.1	0.0909	11.4	10.8	12.4	11.4	10.6	11.32	9.97	1.2418280	0.12
85	0.1	0.0909	11.8	12	10.6	11.4	10.8	11.32	10.60	1.3193542	0.12
90	0.1	0.0909	11	11.6	10.8	11.4	11.2	11.20	11.18	1.3674214	0.12
93	0.1	0.0909	10	10	11.4	11.8	11.2	10.88	11.14	1.3333692	0.12
95	0.1	0.0909	10.8	11.2	11.4	10.6	9.8	10.76	11.25	1.3321371	0.12
99	0.1	0.0909	10.6	10.8	10.4	10.6	9.8	10.44	11.38	1.3068333	0.11
125	0.1	0.0909	8.8	8	8	8.6	8.4	8.36	11.53	1.0578490	0.09
150	0.1	0.0909	6.8	6.8	6.8	6.4	7	6.76	11.16	0.8299141	0.07
175	0.1	0.0909	5.6	5.8	6.4	6	6.2	6.00	11.56	0.7626960	0.07
200	0.1	0.0909	5.4	6	5.8	5.4	5.2	5.56	12.24	0.7484492	0.06

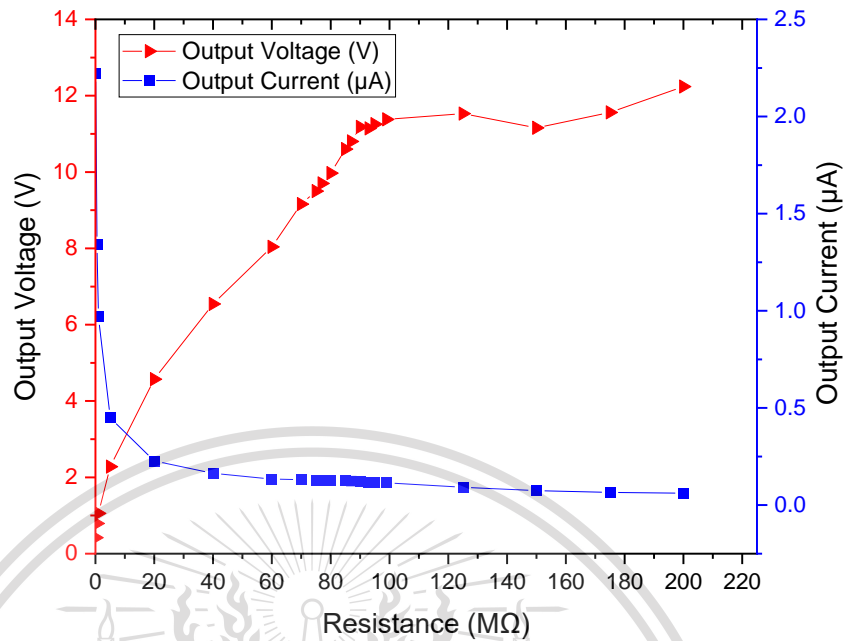
ผลการทดลองเซลล์ย่อยที่ 1 จะได้ค่า Optimal load ที่ 90 M Ω กำลังไฟฟ้ามีค่า 1.367 μ W

และได้กระแสไฟฟ้า 0.120 μ A

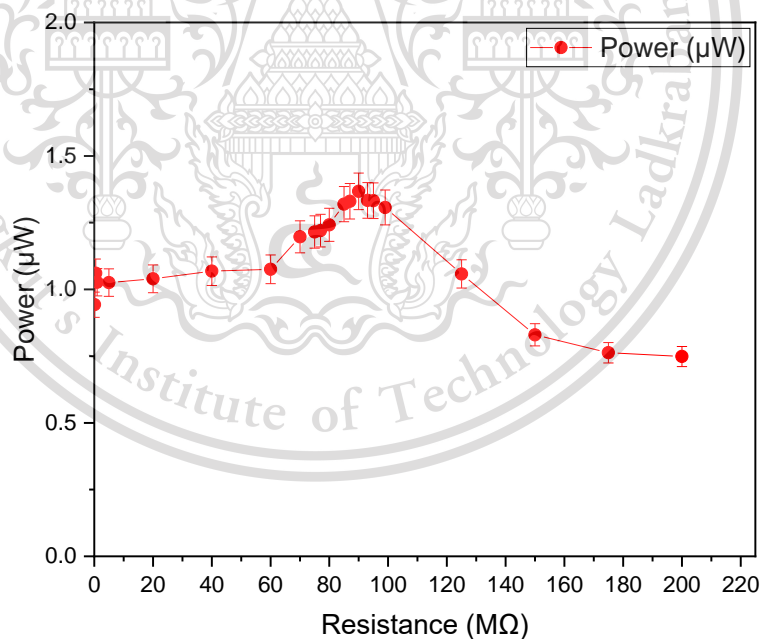
เอกสารนี้เป็นเอกสารที่สงวนไว้สำหรับการใช้งานเพื่อการศึกษาเท่านั้น ไม่อนุญาตให้นำไปใช้ประโยชน์ด้านการค้า
ไม่ว่ากรณีใดๆทั้งสิ้น อีกทั้งห้ามมิให้ดัดแปลงเนื้อหา และต้องอ้างอิงถึงเจ้าของเอกสารทุกครั้งที่มีการนำไปใช้

This material is reserved for educational use only, not allowed for commercial use.

Forbidden to modify the content, and cite the document when use.



รูปที่ 4.9 แรงดันและกระแสไฟฟ้าของเซลล์ย่อยที่ 1



รูปที่ 4.10 กำลังไฟฟ้าของเซลล์ย่อยที่ 1

เอกสารนี้เป็นเอกสารที่สงวนไว้สำหรับการใช้งานเพื่อการศึกษาเท่านั้น ไม่อนุญาตให้นำไปใช้ประโยชน์ด้านการค้า
ไม่ว่ากรณีใดๆทั้งสิ้น อีกทั้งห้ามมิให้ดัดแปลงเนื้อหา และต้องอ้างอิงถึงเจ้าของเอกสารทุกครั้งที่มีการนำไปใช้

This material is reserved for educational use only, not allowed for commercial use.

Forbidden to modify the content, and cite the document when use.

ตารางที่ 4.5 ผลการทดลองแบบแยกเซลล์ย่อยเซลล์ที่ 2

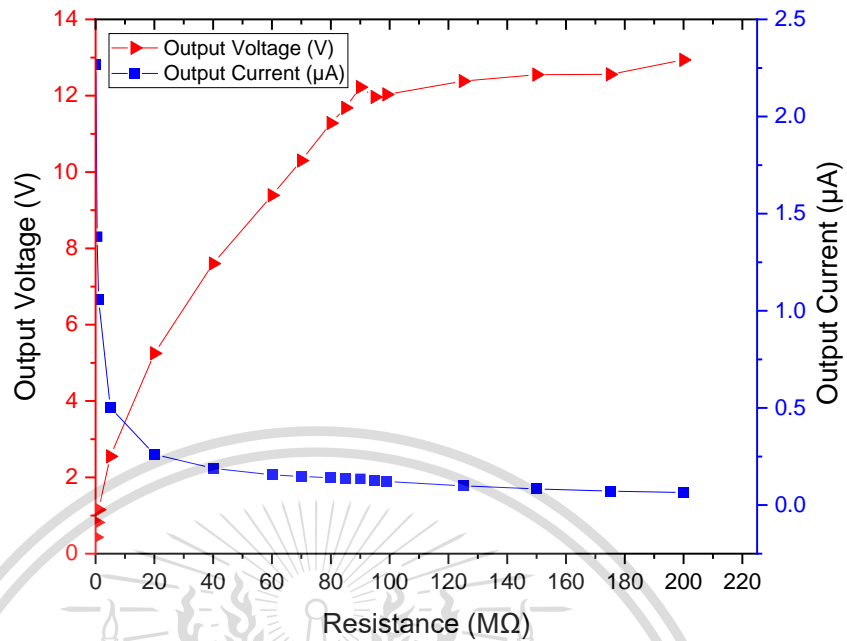
	R2:100k Ω	Rp:1M Ω						V(R2)	V(Tribo)		
R1 (M Ω)	R2 (M Ω)	R2//Rp	Vm1 (mV)	Vm2 (mV)	Vm3 (mV)	Vm4 (mV)	Vm5 (mV)	Vm(avg) (mV)	Vs (V)	Pout (μ W)	I (μ A)
0.1	0.1	0.0909	202	205	199	212	213	206.20	0.43	0.9821760	2.27
0.5	0.1	0.0909	125	127	124	130	122	125.60	0.82	1.1279382	1.38
1	0.1	0.0909	95	97	98	98	93	96.20	1.15	1.2215861	1.06
5	0.1	0.0909	45.2	45.2	46.8	46.4	44.4	45.60	2.55	1.2808858	0.50
20	0.1	0.0909	24.4	23.2	24.6	23.2	23.4	23.76	5.25	1.3723909	0.26
40	0.1	0.0909	16.6	17.4	17.6	17.4	17.2	17.24	7.60	1.4418026	0.19
60	0.1	0.0909	14.2	13.8	14.4	14.6	14	14.20	9.39	1.4661244	0.16
70	0.1	0.0909	13.2	13.4	13.4	13.8	13	13.36	10.30	1.5137703	0.15
80	0.1	0.0909	13	12.8	13.2	12.4	12.6	12.80	11.28	1.5877734	0.14
85	0.1	0.0909	13	12.4	12.4	12	12.6	12.48	11.68	1.6036061	0.14
90	0.1	0.0909	12.6	12.4	12.6	11.8	12.2	12.32	12.22	1.6545799	0.14
95	0.1	0.0909	12	11.6	11.2	11	11.4	11.44	11.97	1.5058316	0.13
99	0.1	0.0909	10.6	11	10.8	10.8	12	11.04	12.03	1.4613604	0.12
125	0.1	0.0909	9.4	9.4	9.2	8.8	8.2	9.00	12.38	1.2260160	0.10
150	0.1	0.0909	7.8	7.4	7.6	7.8	7.4	7.60	12.55	1.0489794	0.08
175	0.1	0.0909	6.4	6.4	6.6	6.8	6.4	6.52	12.56	0.9006253	0.07
200	0.1	0.0909	5.6	6	5.8	5.8	6.2	5.88	12.94	0.8370808	0.06

ผลการทดลองเซลล์ย่อยที่ 2 จะได้ค่า Optimal load ที่ 90 M Ω กำลังไฟฟ้ามีค่า 1.655 μ W
และได้กระแสไฟฟ้า 0.140 μ A

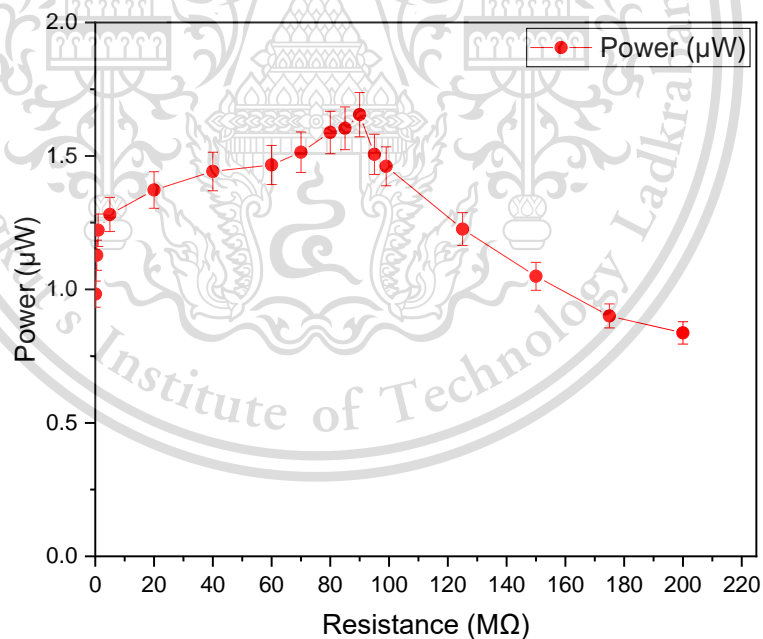
เอกสารนี้เป็นเอกสารที่สงวนไว้สำหรับการใช้งานเพื่อการศึกษาเท่านั้น ไม่อนุญาตให้นำไปใช้ประโยชน์ด้านการค้า
ไม่ว่ากรณีใดๆทั้งสิ้น อีกทั้งห้ามมิให้ดัดแปลงเนื้อหา และต้องอ้างอิงถึงเจ้าของเอกสารทุกครั้งที่มีการนำไปใช้

This material is reserved for educational use only, not allowed for commercial use.

Forbidden to modify the content, and cite the document when use.



รูปที่ 4.11 แรงดันและกระแสไฟฟ้าของเซลล์ย่อยที่ 2



รูปที่ 4.12 กำลังไฟฟ้าของเซลล์ย่อยที่ 2

เอกสารนี้เป็นเอกสารที่สงวนไว้สำหรับการใช้งานเพื่อการศึกษาเท่านั้น ไม่อนุญาตให้นำไปใช้ประโยชน์ด้านการค้า
ไม่ว่ากรณีใดๆทั้งสิ้น อีกทั้งห้ามมิให้ดัดแปลงเนื้อหา และต้องอ้างอิงถึงเจ้าของเอกสารทุกครั้งที่มีการนำไปใช้

This material is reserved for educational use only, not allowed for commercial use.

Forbidden to modify the content, and cite the document when use.

ตารางที่ 4.6 ผลการทดลองแบบแยกเซลล์ย่อยเซลล์ที่ 3

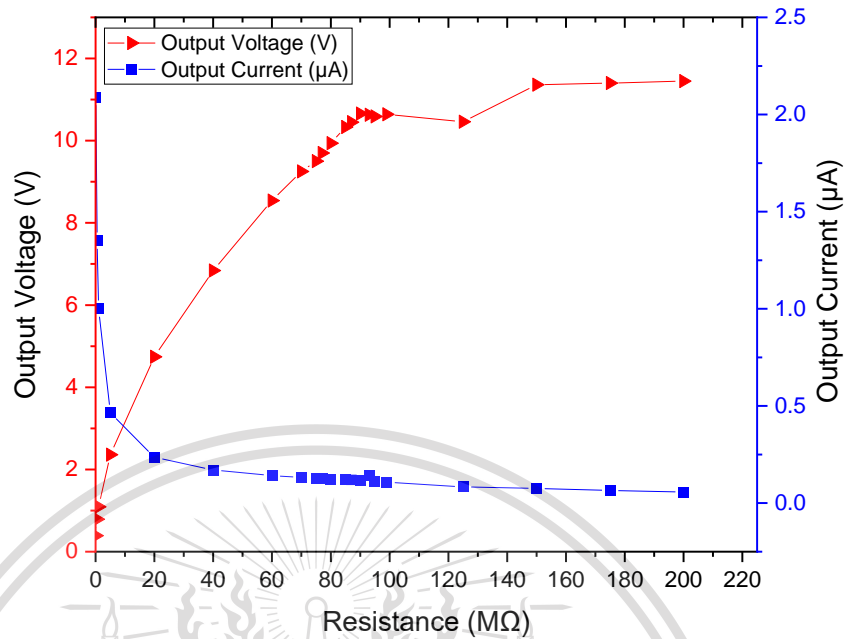
	R2:100k Ω	Rp:1M Ω						V(R2)	V(Tribo)		
R1 (M Ω)	R2 (M Ω)	R2//Rp	Vm1 (mV)	Vm2 (mV)	Vm3 (mV)	Vm4 (mV)	Vm5 (mV)	Vm(avg) (mV)	Vs (V)	Pout (μ W)	I (μ A)
0.1	0.1	0.0909	190	186	194	194	186	190.00	0.39	0.8339100	2.09
0.5	0.1	0.0909	121	126	123	120	124	122.80	0.79	1.0782086	1.35
1	0.1	0.0909	92	89	90	90	94	91.00	1.09	1.0930920	1.00
5	0.1	0.0909	41	41	42	43	44	42.20	2.36	1.0969974	0.46
20	0.1	0.0909	20.8	21.2	22.2	21.6	21.4	21.44	4.74	1.1174665	0.24
40	0.1	0.0909	15.8	14.8	16.2	15.2	15.6	15.52	6.84	1.1684623	0.17
60	0.1	0.0909	13.2	12.6	13	12.8	13	12.92	8.54	1.2137219	0.14
70	0.1	0.0909	12.2	11.6	11.8	12	12.4	12.00	9.25	1.2212640	0.13
80	0.1	0.0909	11.2	11.2	11.2	11.2	11.6	11.28	9.94	1.2330673	0.12
85	0.1	0.0909	10.6	10.6	11.6	11.4	11	11.04	10.33	1.2548930	0.12
90	0.1	0.0909	10.2	11	10.8	11	10.8	10.76	10.66	1.2620916	0.12
95	0.1	0.0909	10.4	10.6	9.8	9.6	10.2	10.12	10.59	1.1783801	0.11
99	0.1	0.0909	10.2	9.8	9.6	9.8	9.4	9.76	10.64	1.1421386	0.11
125	0.1	0.0909	7.4	7.4	7.8	8	7.4	7.60	10.46	0.8742554	0.08
150	0.1	0.0909	7	7.2	6.4	7	6.8	6.88	11.36	0.8596400	0.08
175	0.1	0.0909	6	5.8	5.8	6	6	5.92	11.40	0.7424930	0.07
200	0.1	0.0909	5	5	5.4	5.4	5.2	5.20	11.45	0.6546654	0.06

ผลการทดลองเซลล์ย่อยที่ 3 จะได้ค่า Optimal load ที่ 90 M Ω กำลังไฟฟ้ามีค่า 1.262 μ W และได้กระแสไฟฟ้า 0.120 μ A

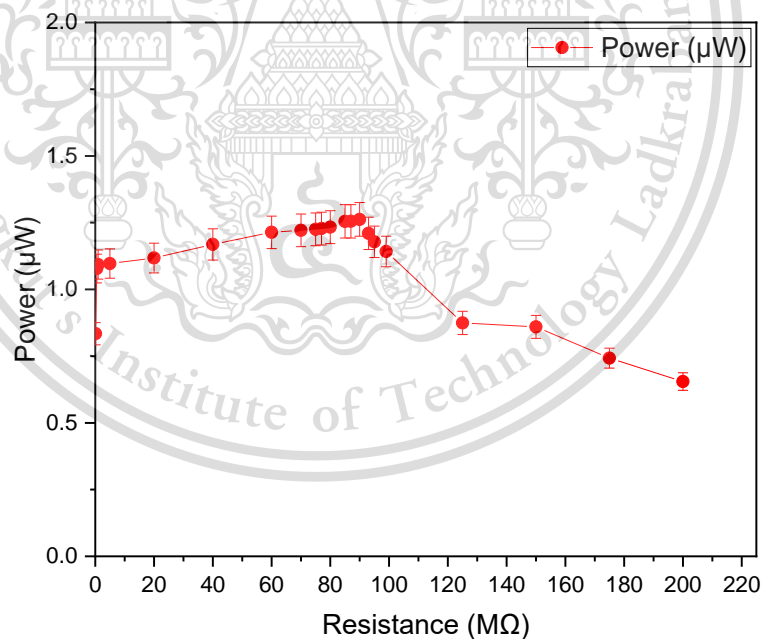
เอกสารนี้เป็นเอกสารที่สงวนไว้สำหรับการใช้งานเพื่อการศึกษาเท่านั้น ไม่อนุญาตให้นำไปใช้ประโยชน์ด้านการค้า
ไม่ว่ากรณีใดๆทั้งสิ้น อีกทั้งห้ามมิให้ดัดแปลงเนื้อหา และต้องอ้างอิงถึงเจ้าของเอกสารทุกครั้งที่มีการนำไปใช้

This material is reserved for educational use only, not allowed for commercial use.

Forbidden to modify the content, and cite the document when use.



รูปที่ 4.13 แรงดันและกระแสไฟฟ้าของเซลล์ย่อยที่ 3



รูปที่ 4.14 กำลังไฟฟ้าของเซลล์ย่อยที่ 3

เอกสารนี้เป็นเอกสารที่สงวนไว้สำหรับการใช้งานเพื่อการศึกษาเท่านั้น ไม่อนุญาตให้นำไปใช้ประโยชน์ด้านการค้า
ไม่ว่ากรณีใดๆทั้งสิ้น อีกทั้งห้ามมิให้ดัดแปลงเนื้อหา และต้องอ้างอิงถึงเจ้าของเอกสารทุกครั้งที่มีการนำไปใช้

This material is reserved for educational use only, not allowed for commercial use.

Forbidden to modify the content, and cite the document when use.

ตารางที่ 4.7 ผลการทดลองแบบแยกเซลล์ย่อยเซลล์ที่ 4

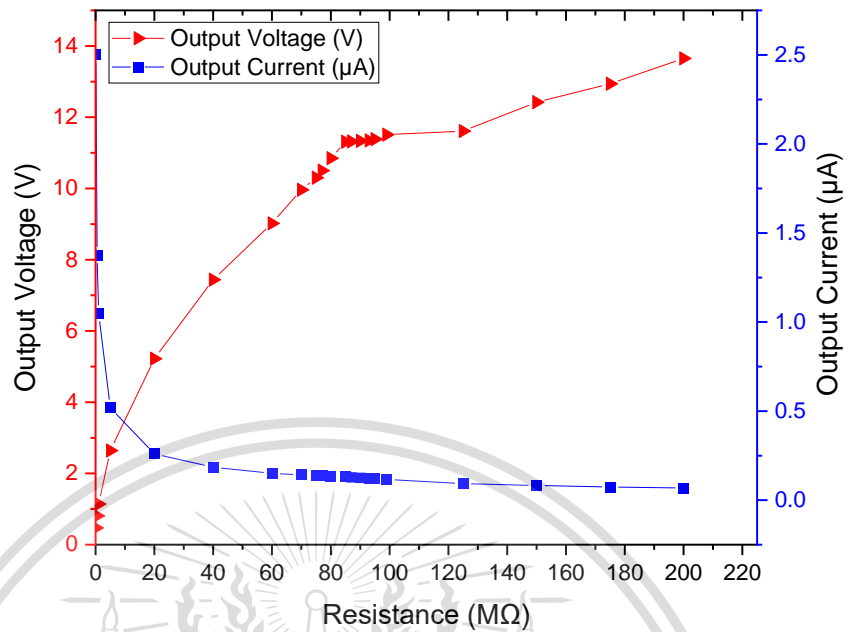
	R2:100k Ω	Rp:1M Ω						V(R2)	V(Tribo)		
R1 (M Ω)	R2 (M Ω)	R2//Rp	Vm1 (mV)	Vm2 (mV)	Vm3 (mV)	Vm4 (mV)	Vm5 (mV)	Vm(avg) (mV)	Vs (V)	Pout (μ W)	I (μ A)
0.1	0.1	0.0909	226	228	222	228	233	227.40	0.47	1.1945186	2.50
0.5	0.1	0.0909	125	128	128	123	122	125.20	0.81	1.1207654	1.38
1	0.1	0.0909	95	96	94	96	96	95.40	1.14	1.2013531	1.05
5	0.1	0.0909	47.4	47.2	48	46.4	46.8	47.16	2.64	1.3700244	0.52
20	0.1	0.0909	23.6	24.4	24.6	23	22.6	23.64	5.22	1.3585634	0.26
40	0.1	0.0909	16.4	16.6	16.7	17.4	17.2	16.86	7.44	1.3789433	0.19
60	0.1	0.0909	12.8	13.4	13.8	14.4	13.8	13.64	9.02	1.3527666	0.15
70	0.1	0.0909	12.8	12	13.4	13	13.4	12.92	9.96	1.4157028	0.14
80	0.1	0.0909	11.6	12.6	12.8	12.4	12.2	12.32	10.85	1.4709232	0.14
85	0.1	0.0909	13.6	12.6	10.6	12.4	11.2	12.08	11.31	1.5024582	0.13
90	0.1	0.0909	11.6	11.6	11.2	11.4	11.4	11.44	11.34	1.4266531	0.13
95	0.1	0.0909	10.8	10.8	11.2	10.6	11	10.88	11.38	1.3620158	0.12
99	0.1	0.0909	10.4	11	10.4	10.8	10.2	10.56	11.51	1.3370481	0.12
125	0.1	0.0909	8.6	8.4	8.6	8.2	8.4	8.44	11.61	1.0781918	0.09
150	0.1	0.0909	7.6	7.8	6.6	7.6	8	7.52	12.42	1.0270118	0.08
175	0.1	0.0909	6.6	6.6	6	7.2	7.2	6.72	12.94	0.9567259	0.07
200	0.1	0.0909	6	6.2	6.2	6.2	6.4	6.20	13.65	0.9306708	0.07

ผลการทดลองเซลล์ย่อยที่ 4 จะได้ค่า Optimal load ที่ 85 M Ω กำลังไฟฟ้ามีค่า 1.502 μ W
และได้กระแสไฟฟ้า 0.130 μ A

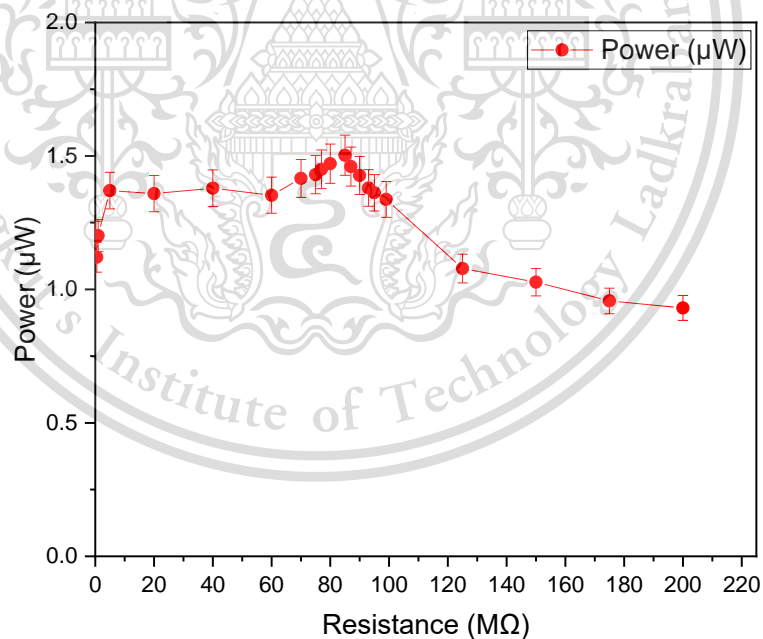
เอกสารนี้เป็นเอกสารที่สงวนไว้สำหรับการใช้งานเพื่อการศึกษาเท่านั้น ไม่อนุญาตให้นำไปใช้ประโยชน์ด้านการค้า
ไม่ว่ากรณีใดๆทั้งสิ้น อีกทั้งห้ามมิให้ดัดแปลงเนื้อหา และต้องอ้างอิงถึงเจ้าของเอกสารทุกครั้งที่มีการนำไปใช้

This material is reserved for educational use only, not allowed for commercial use.

Forbidden to modify the content, and cite the document when use.



รูปที่ 4.15 แรงดันและกระแสไฟฟ้าของเซลล์ย่อยที่ 4



รูปที่ 4.16 กำลังไฟฟ้าของเซลล์ย่อยที่ 4

เอกสารนี้เป็นเอกสารที่สงวนไว้สำหรับการใช้งานเพื่อการศึกษาเท่านั้น ไม่อนุญาตให้นำไปใช้ประโยชน์ด้านการค้า
ไม่ว่ากรณีใดๆทั้งสิ้น อีกทั้งห้ามมิให้ดัดแปลงเนื้อหา และต้องอ้างอิงถึงเจ้าของเอกสารทุกครั้งที่มีการนำไปใช้

This material is reserved for educational use only, not allowed for commercial use.

Forbidden to modify the content, and cite the document when use.

4.4 การทดลองที่ไม่ผ่านวงจรเรียงกระแส

การทดลองแบบไม่ผ่านวงจรเรียงกระแสเพื่อเปรียบเทียบกับกรณีสื่อผ่านวงจรเรียงกระแสว่าแรงดันไฟฟ้าที่ได้มีลักษณะอย่างไร และเพื่อทดสอบว่าไม่สามารถนำมาใช้ในการเก็บเกี่ยวพลังงานได้ เนื่องจากการไม่ผ่านวงจรเรียงกระแสอาจมีการเสริมหรือหักล้างกันของเฟส จึงทำให้ค่าแรงดันที่ได้ไม่ตรงตามคุณสมบัติเฉพาะของวัสดุเทอร์โบอิเล็กทริก

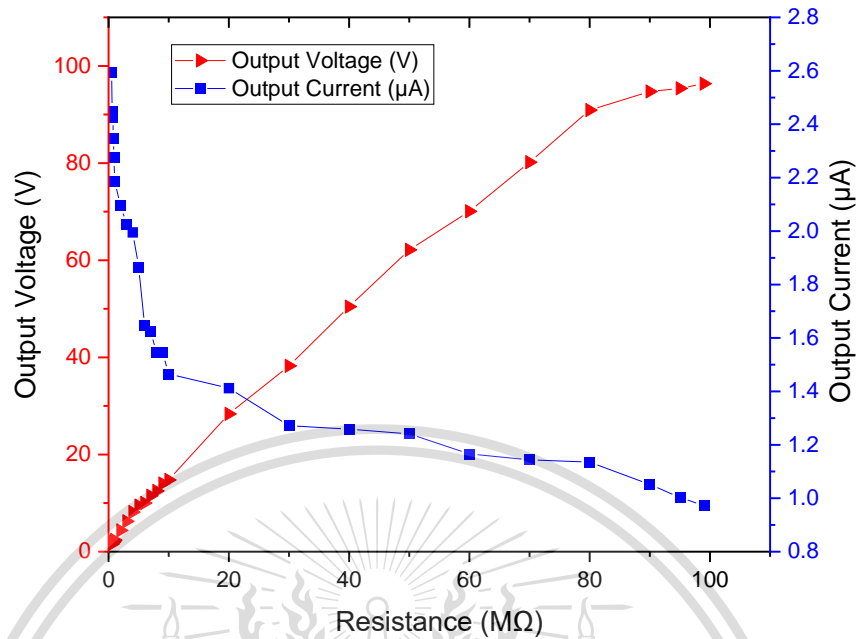
ตารางที่ 4.8 ผลการทดลองแบบพื้นฐานที่ยังไม่ผ่านวงจรเรียงกระแส

	R2:100k Ω	Rp:1M Ω						V(R2)	V(Tribo)		
R1 (M Ω)	R2 (M Ω)	R2//Rp	Vm1 (mV)	Vm2 (mV)	Vm3 (mV)	Vm4 (mV)	Vm5 (mV)	Vm(avg) (mV)	Vs (V)	Pout (μ W)	I (μ A)
0.1	0.1	0.0909	271	322	305	279	313	298.00	0.62	2.0513724	3.28
0.3	0.1	0.0909	238	280	296	245	240	259.80	1.11	3.1925627	2.86
0.5	0.1	0.0909	246	230	246	254	203	235.80	1.53	3.9755173	2.59
0.7	0.1	0.0909	212	244	244	203	200	220.60	1.91	4.6571793	2.43
0.9	0.1	0.0909	220	208	206	196	204	206.80	2.25	5.1276722	2.27
1	0.1	0.0909	212	196	186	180	220	198.80	2.38	5.2168301	2.19
2	0.1	0.0909	204	210	172	170	196	190.40	4.37	9.1717965	2.09
3	0.1	0.0909	170	172	172	203	204	184.20	6.26	12.6896854	2.03
4	0.1	0.0909	203	196	178	170	160	181.40	8.16	16.2884502	2.00
5	0.1	0.0909	154	148	188	188	170	169.60	9.49	17.7187226	1.87
6	0.1	0.0909	132	146	138	162	170	149.60	10.02	16.4941779	1.65
7	0.1	0.0909	154	152	152	136	144	147.60	11.51	18.6921821	1.62
8	0.1	0.0909	130	134	136	148	154	140.40	12.49	19.2982046	1.54
9	0.1	0.0909	144	144	142	128	144	140.40	14.04	21.6833760	1.54
10	0.1	0.0909	132	136	132	130	136	133.20	14.78	21.6632750	1.47
20	0.1	0.0909	138	108	116	140	140	128.40	28.37	40.0788274	1.41
30	0.1	0.0909	114	116	112	116	120	115.60	38.26	48.6559938	1.27
40	0.1	0.0909	118	118	114	112	110	114.40	50.45	63.4867834	1.26
50	0.1	0.0909	116	114	114	112	108	112.80	62.15	77.1191942	1.24
60	0.1	0.0909	100	118	112	104	96	106.00	70.06	81.6969560	1.17
70	0.1	0.0909	102	102	104	106	106	104.00	80.18	91.7304960	1.14
80	0.1	0.0909	116	98	98	100	104	103.20	90.91	103.2114758	1.14
90	0.1	0.0909	94	100	96	92	96	95.60	94.73	99.6281634	1.05
99	0.1	0.0909	86	88	86	92	90	88.40	96.35	93.6965744	0.97

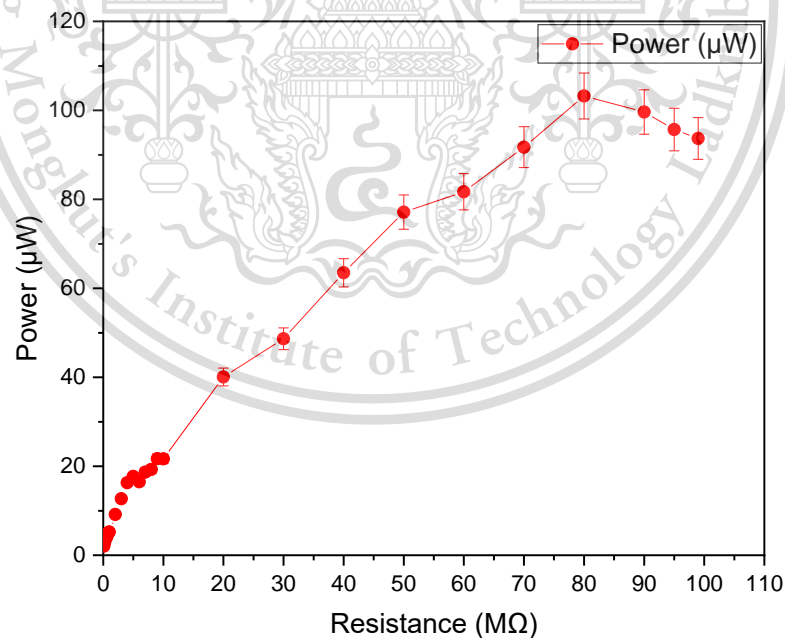
เอกสารนี้เป็นเอกสารที่สงวนลิขสิทธิ์ไว้สำหรับใช้ในทางวิชาการเท่านั้น ไม่ควรนำเอกสารนี้ไปเผยแพร่หรือทำซ้ำโดยไม่ได้รับอนุญาต

This material is reserved for educational use only, not allowed for commercial use.

Forbidden to modify the content, and cite the document when use.



รูปที่ 4.17 แรงดันไฟฟ้าและกระแสไฟฟ้าแบบพื้นฐานจากการทดลองที่ไม่ใช้วงจรเรียงกระแส



รูปที่ 4.18 กำลังไฟฟ้าแบบพื้นฐานจากการทดลองที่ไม่ใช้วงจรเรียงกระแส

เอกสารนี้เป็นเอกสารที่สงวนไว้สำหรับการใช้งานเพื่อการศึกษาเท่านั้น ไม่อนุญาตให้นำไปใช้ประโยชน์ด้านการค้า
ไม่ว่ากรณีใดๆทั้งสิ้น อีกทั้งห้ามมิให้ดัดแปลงเนื้อหา และต้องอ้างอิงถึงเจ้าของเอกสารทุกครั้งที่มีการนำไปใช้

This material is reserved for educational use only, not allowed for commercial use.

Forbidden to modify the content, and cite the document when use.

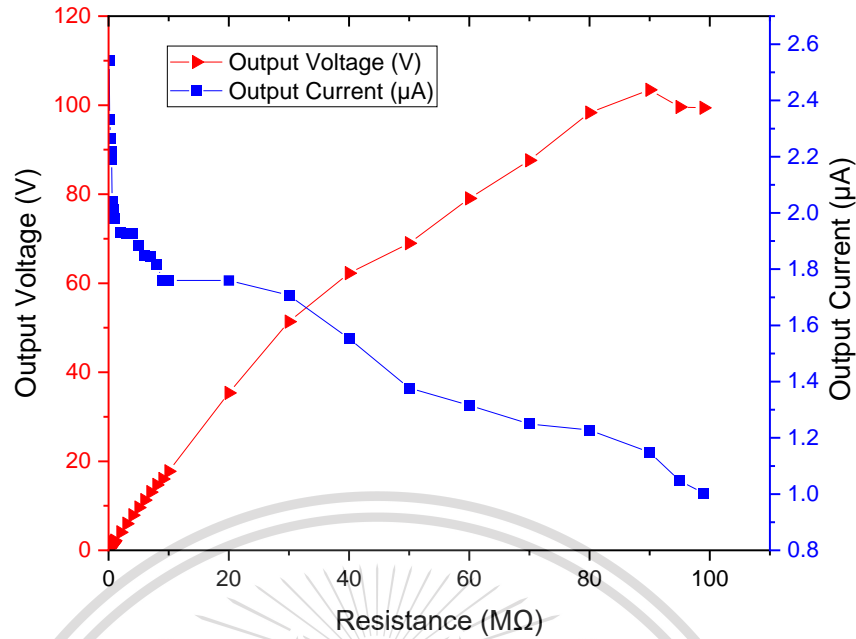
ตารางที่ 4.9 ผลการทดลองแบบต่อขนานที่ยังไม่ผ่านวงจรเรียงกระแส

	R2:100k Ω	Rp:1M Ω						V(R2)	V(Tribo)		
R1 (M Ω)	R2 (M Ω)	R2//Rp	Vm1 (mV)	Vm2 (mV)	Vm3 (mV)	Vm4 (mV)	Vm5 (mV)	Vm(avg) (mV)	Vs (V)	Pout (μ W)	I (μ A)
0.1	0.1	0.0909	220	227	240	248	220	231.00	0.48	1.2326391	2.54
0.3	0.1	0.0909	210	208	202	210	200	206.00	0.88	2.0072228	2.27
0.5	0.1	0.0909	194	206	192	214	190	199.20	1.29	2.8371658	2.19
0.7	0.1	0.0909	185	172	172	188	206	184.60	1.60	3.2611842	2.03
0.9	0.1	0.0909	176	180	190	190	164	180.00	1.96	3.8847600	1.98
1	0.1	0.0909	192	182	178	158	190	180.00	2.16	4.2768000	1.98
2	0.1	0.0909	170	198	166	178	166	175.60	4.03	7.8013461	1.93
3	0.1	0.0909	174	174	160	178	190	175.20	5.95	11.4799450	1.93
4	0.1	0.0909	174	184	172	186	160	175.20	7.88	15.1940448	1.93
5	0.1	0.0909	166	160	180	188	162	171.20	9.58	18.0546150	1.88
6	0.1	0.0909	152	174	186	150	178	168.00	11.25	20.8010880	1.85
7	0.1	0.0909	160	176	168	156	178	167.60	13.07	24.1010141	1.84
8	0.1	0.0909	172	168	172	164	150	165.20	14.70	26.7179282	1.82
9	0.1	0.0909	182	146	160	172	140	160.00	16.00	28.1600000	1.76
10	0.1	0.0909	136	172	168	148	176	160.00	17.76	31.2576000	1.76
20	0.1	0.0909	152	164	176	168	140	160.00	35.36	62.2336000	1.76
30	0.1	0.0909	154	170	146	146	160	155.20	51.37	87.7009126	1.71
40	0.1	0.0909	144	144	142	128	148	141.20	62.26	96.7165214	1.55
50	0.1	0.0909	136	130	128	116	116	125.20	68.98	95.0064174	1.38
60	0.1	0.0909	116	118	110	128	126	119.60	79.05	104.0055474	1.32
70	0.1	0.0909	122	116	116	120	94	113.60	87.58	109.4469658	1.25
80	0.1	0.0909	118	114	104	108	114	111.60	98.31	120.6971410	1.23
90	0.1	0.0909	94	106	104	124	94	104.40	103.46	118.8139234	1.15
95	0.1	0.0909	102	104	100	84	86	95.20	99.57	104.2793382	1.05
99	0.1	0.0909	78	88	92	98	100	91.20	99.40	99.7261056	1.00

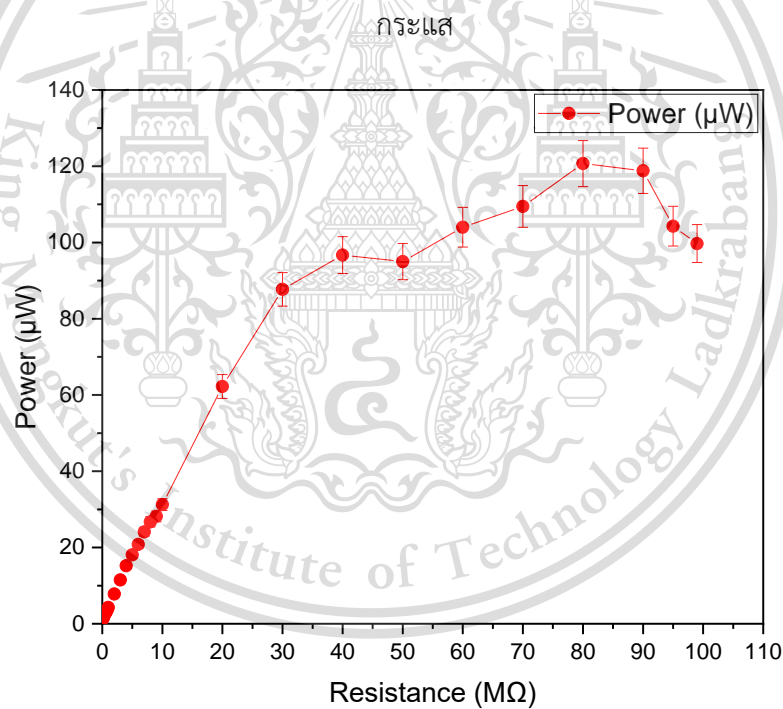
เอกสารนี้เป็นเอกสารที่สงวนไว้สำหรับการใช้งานเพื่อการศึกษาเท่านั้น ไม่อนุญาตให้นำไปใช้ประโยชน์ด้านการค้า
ไม่ว่ากรณีใดๆทั้งสิ้น อีกทั้งห้ามมิให้ดัดแปลงเนื้อหา และต้องอ้างอิงถึงเจ้าของเอกสารทุกครั้งที่มีการนำไปใช้

This material is reserved for educational use only, not allowed for commercial use.

Forbidden to modify the content, and cite the document when use.



รูปที่ 4.19 แรงดันไฟฟ้าและกระแสไฟฟ้าแบบ 4 เซลล์ต่อแบบขนานจากการทดลองที่ไม่ใช้วงจรเรียง



รูปที่ 4.20 กำลังไฟฟ้าแบบ 4 เซลล์ต่อแบบขนานจากการทดลองที่ไม่ใช้วงจรเรียงกระแส

สำหรับกราฟแสดงค่าแรงดันไฟฟ้า กระแสไฟฟ้า และกำลังไฟฟ้าของแบบพื้นฐานกับแบบ เซลล์ย่อยจำนวน 4 เซลล์ต่อขนานเพื่อหาความต้านทานภายในของวัสดุไทโรโบอิเล็กทริก การไม่ได้ใช้

วงจรรีจกกระแสในการกรองกระแสฟุ้งลอบออก (วัสดุไทโรโบอิเล็กทริกเปรียบเสมือนแหล่งกำเนิดไฟฟ้า เอกสารนี้เป็นเอกสารทสงวนไว้สำหรับการใช้งานเพื่อการศึกษาค้นคว้าเท่านั้น ไม่อนุญาตให้นำไปเผยแพร่บนการค้า กระแสสลับ) จึงทำให้ค่าพารามิเตอร์แต่ละอันที่ได้มาอาจมีค่าผิดเพี้ยนจากความเป็นจริง เนื่องจาก ไม่ว่าจะกรณีใดๆ ทั้งสิ้น อีกทั้งยังมีให้ดัดแปลงเนื้อหา และต้องอ้างอิงถึงเจ้าของเอกสารทุกครั้งที่มีการนำไปใช้ สามารถเกิดการเสริมหรือหักล้างกันของเฟสแรงดันได้ (phase)

This material is reserved for educational use only, not allowed for commercial use.

Forbidden to modify the content, and cite the document when use.

4.5 การทดลองที่แรงดันยังไม่ถึงจุดคงที่ก่อนทำการทดลอง

จากการศึกษาพฤติกรรมของวัสดุไพโรอิเล็กทริก เมื่อเหยียบพื้นเก็บเกี่ยวพลังงานค่าแรงดันจะเพิ่มมากขึ้นเรื่อย ๆ จนถึงจุดที่แรงดันมีค่าคงที่ค่าหนึ่งจึงจะสามารถเริ่มทำการทดลองได้ และในการทดลองนี้จะเป็นตัวอย่างของการทดลองที่ยังไม่มีการคงที่ของแรงดัน

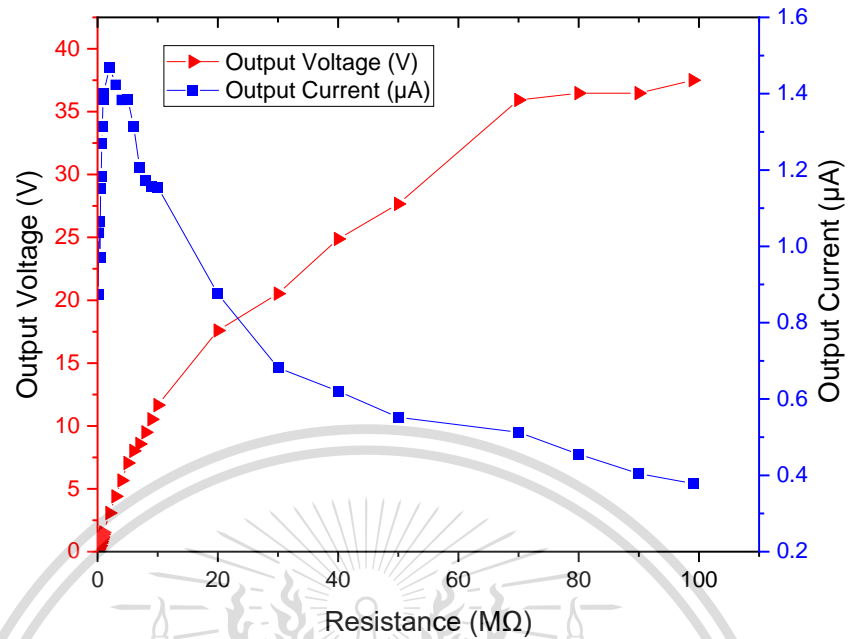
ตารางที่ 4.10 ผลการทดลองที่แรงดันยังไม่ถึงจุดคงที่ก่อนการทดลอง

	R2:100kΩ	Rp:1MΩ						V(R2)	V(Tribo)		
R1 (MΩ)	R2 (MΩ)	R2//Rp	Vm1 (mV)	Vm2 (mV)	Vm3 (mV)	Vm4 (mV)	Vm5 (mV)	Vm(avg) (mV)	Vs (V)	Pout (μW)	I (μA)
0.1	0.1	0.0909	85	75	79	79	79	79.40	0.16	0.1456307	0.87
0.3	0.1	0.0909	107	95	91	92	99	96.80	0.41	0.4432124	1.06
0.5	0.1	0.0909	94	116	101	101	112	104.80	0.68	0.7852874	1.15
0.7	0.1	0.0909	100	120	116	133	108	115.40	1.00	1.2744522	1.27
0.9	0.1	0.0909	132	119	130	110	139	126.00	1.37	1.9035324	1.39
1	0.1	0.0909	127	129	113	132	136	127.40	1.52	2.1424603	1.40
2	0.1	0.0909	146	146	121	132	123	133.60	3.07	4.5157869	1.47
3	0.1	0.0909	136	137	118	128	128	129.40	4.39	6.2623906	1.42
4	0.1	0.0909	136	125	130	120	118	125.80	5.66	7.8336918	1.38
5	0.1	0.0909	133	126	114	114	143	126.00	7.05	9.7796160	1.39
6	0.1	0.0909	121	118	117	124	118	119.60	8.01	10.5421659	1.32
7	0.1	0.0909	104	110	124	107	104	109.80	8.56	10.3440823	1.21
8	0.1	0.0909	106	105	112	115	95	106.60	9.48	11.1249252	1.17
9	0.1	0.0909	99	110	101	102	114	105.20	10.52	12.1737440	1.16
10	0.1	0.0909	108	114	108	97	98	105.00	11.65	13.4615250	1.16
20	0.1	0.0909	82	69	75	82	90	79.60	17.59	15.4032050	0.88
30	0.1	0.0909	58	62	65	60	65	62.00	20.52	13.9960040	0.68
40	0.1	0.0909	57	55	56	58	56	56.40	24.87	15.4308370	0.62
50	0.1	0.0909	55	49	50	49	48	50.20	27.66	15.2739624	0.55
70	0.1	0.0909	39	47	49	49	49	46.60	35.92	18.4170004	0.51
80	0.1	0.0909	40	41	43	43	40	41.40	36.47	16.6099864	0.46
90	0.1	0.0909	38	34	34	37	41	36.80	36.46	14.7625702	0.40
99	0.1	0.0909	37	37	30	35	33	34.40	37.49	14.1884864	0.38

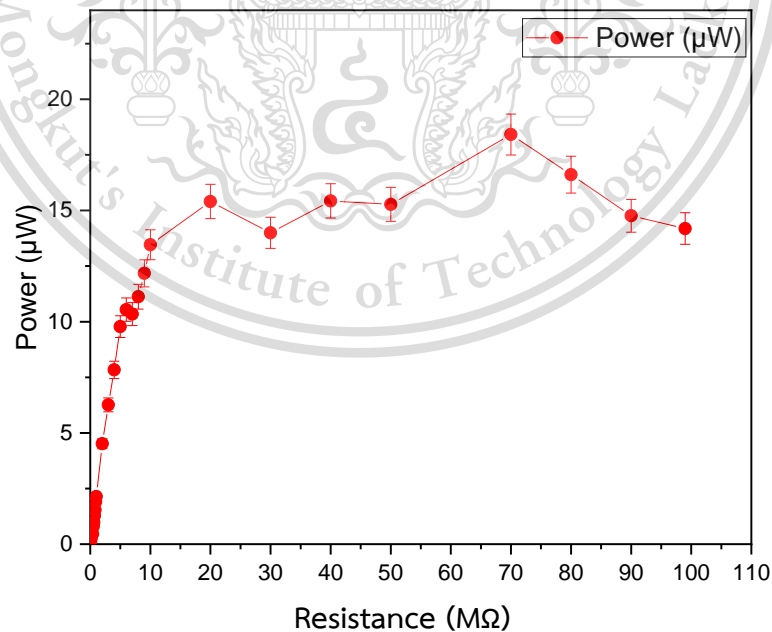
เอกสารนี้เป็นเอกสารที่สงวนไว้สำหรับการใช้งานเพื่อการศึกษาเท่านั้น ไม่อนุญาตให้นำไปใช้ประโยชน์ด้านการค้า
ไม่ว่ากรณีใดๆทั้งสิ้น อีกทั้งห้ามมิให้ดัดแปลงเนื้อหา และต้องอ้างอิงถึงเจ้าของเอกสารทุกครั้งที่มีการนำไปใช้

This material is reserved for educational use only, not allowed for commercial use.

Forbidden to modify the content, and cite the document when use.



รูปที่ 4.21 แรงดันไฟฟ้าและกระแสไฟฟ้าจากการทดลองที่ไม่ได้เหยียบพื้นให้ค่าแรงดันถึงจุดคงที่ก่อนทดลอง



รูปที่ 4.22 กำลังไฟฟ้าจากการทดลองที่ไม่ได้เหยียบพื้นให้ค่าแรงดันถึงจุดคงที่ก่อนทดลอง

เอกสารนี้เป็นเอกสารที่สงวนลิขสิทธิ์ไว้เพื่อใช้ในการศึกษาเท่านั้น เมื่อผู้เห็นได้เห็นใบเขียวจะขึ้นด้านการค้า
ไม่ว่ากรณีใดๆทั้งสิ้น อีกทั้งห้ามมิให้ดัดแปลงเนื้อหา และต้องอ้างอิงถึงเจ้าของเอกสารทุกครั้งที่มีการนำไปใช้

This material is reserved for educational use only, not allowed for commercial use.

Forbidden to modify the content, and cite the document when use.

กราฟแสดงผลค่าแรงดันไฟฟ้า กระแสไฟฟ้า และกำลังไฟฟ้าที่ได้จากการทดลองดังรูปที่ 4.21 และ 4.22 มีความผิดพลาดตรงส่วนของกราฟแสดงค่ากระแสไฟฟ้า (Output Current) ที่มีค่าเพิ่มขึ้นในช่วงความต้านทาน 0 - 5 M Ω เพราะในทางทฤษฎีเมื่อความต้านทานของวงจรมีค่ามากขึ้น กระแสไฟฟ้าต้องมีค่าลดลง และแรงดันไฟฟ้าต้องเพิ่มมากขึ้นตามกฎของโอห์ม ($V = IR$) ดังนั้นกราฟของกระแสไฟฟ้าจึงควรที่จะต้องมีค่าสูงที่สุด ณ จุดเริ่มต้นของกราฟ ($R = 0 \Omega$) แล้วค่อย ๆ ลดลงเรื่อย ๆ ตามความต้านทานที่เพิ่มขึ้น



เอกสารนี้เป็นเอกสารที่สงวนไว้สำหรับการใช้งานเพื่อการศึกษาเท่านั้น ไม่อนุญาตให้นำไปใช้ประโยชน์ด้านการค้า
ไม่ว่ากรณีใดๆทั้งสิ้น อีกทั้งห้ามมิให้ตัดแปลงเนื้อหา และต้องอ้างอิงถึงเจ้าของเอกสารทุกครั้งที่มีการนำไปใช้

This material is reserved for educational use only, not allowed for commercial use.

Forbidden to modify the content, and cite the document when use.

บทที่ 5

สรุปการดำเนินงาน

5.1 สรุปผลการดำเนินงาน

การนำหลักการเก็บเกี่ยวพลังงานที่ได้ศึกษา มาประยุกต์ใช้กับพื้นที่เก็บเกี่ยวพลังงานหลักการ ไทโรโบอิเล็กทรอนิกส์ โดยจะแบ่งออกเป็น 2 ส่วนหลัก ได้แก่ การออกแบบโครงสร้างภายในพื้นที่เก็บเกี่ยวพลังงาน และการทดลองคุณลักษณะเฉพาะของวัสดุไทโรโบอิเล็กทรอนิกส์

ในส่วนการออกแบบโครงสร้างภายในพื้นที่เก็บเกี่ยวพลังงานนี้ แบ่งเป็น 2 แบบด้วยกัน โดยแบบแรกเรียกว่า แบบพื้นฐาน ลักษณะจะเป็นแผ่นสี่เหลี่ยมจัตุรัสที่มีขนาด 30×30 เซนติเมตร มีวัสดุเทปลอน ซึ่งเป็นวัสดุที่มีคุณสมบัติของไทโรโบอิเล็กทรอนิกส์ที่ติดอยู่บนแผ่นอิเล็กทรอนิกส์ (แผ่นตัวนำ) และแบบที่สองเป็นการนำแบบพื้นฐานมาแยกเป็นแผ่นย่อยรูปสี่เหลี่ยมจัตุรัสหรือเรียกว่าแบบเซลล์ย่อย จะมีทั้งหมด 4 เซลล์ ในแต่ละเซลล์มีขนาด 15×15 เซนติเมตร มีวัสดุเทปลอนติดบนแผ่นตัวนำเช่นเดียวกันกับแบบพื้นฐาน โดยโครงสร้างทั้งสองแบบนี้ ใช้เครื่องพิมพ์สามมิติ (3D printer) เป็นเครื่องมือในการพิมพ์โครงสร้างที่ออกแบบขึ้นมาจากวัสดุ PLA (Polylactic Acid) ซึ่งมีความทนทานสูง แตกหักยาก รับน้ำหนักได้มาก จึงเหมาะสำหรับการนำมาใช้เป็นโครงสร้างภายในพื้นที่เก็บเกี่ยวพลังงานนี้

การทดลองคุณลักษณะเฉพาะของวัสดุไทโรโบอิเล็กทรอนิกส์ภายในพื้นที่เก็บเกี่ยวพลังงาน จะเป็นการเหยียบพื้นด้วยน้ำหนักคงที่ แล้วนำมาต่อเข้ากับวงจรแบ่งแรงดัน (Voltage Divider) ความต้านทานปรับค่าได้ตั้งแต่ $0.1 - 200 \text{ M}\Omega$ และความต้านทาน $100 \text{ k}\Omega$ พร้อมกับวัดค่าแรงดันไฟฟ้า กระแสไฟฟ้า และกำลังไฟฟ้า ในโครงสร้างแต่ละแบบ เพื่อหาค่าความต้านทานภายในของวัสดุไทโรโบอิเล็กทรอนิกส์ที่นำมาใช้ (เทปลอน)

จากการทดลองที่ผ่านมาทั้งหมด สรุปได้ว่าโครงสร้างภายในพื้นที่เก็บเกี่ยวพลังงานรูปแบบเซลล์ย่อย จำนวน 4 เซลล์ต่อขนานกันเป็นรูปแบบที่ดีที่สุด เนื่องจากกำลังไฟฟ้าที่ได้มีค่า $5.627 \mu\text{W}$ และ Optimal load อยู่ที่ $90 \text{ M}\Omega$

เอกสารนี้เป็นเอกสารที่สงวนไว้สำหรับการใช้งานเพื่อการศึกษาเท่านั้น ไม่อนุญาตให้นำไปใช้ประโยชน์ด้านการค้า
ไม่ว่ากรณีใดๆทั้งสิ้น อีกทั้งห้ามมิให้ดัดแปลงเนื้อหา และต้องอ้างอิงถึงเจ้าของเอกสารทุกครั้งที่มีการนำไปใช้

This material is reserved for educational use only, not allowed for commercial use.

Forbidden to modify the content, and cite the document when use.

5.2 ปัญหาและอุปสรรคในการดำเนินงาน

- การควบคุมระยะห่างระหว่างพื้นด้านบนกับด้านล่างให้มีระยะยุบตัวคงที่ที่ขนานกัน ในการทดลองจึงต้องเหี่ยบบริเวณตรงกลางของพื้นเท่านั้น
- การทดลองแต่ละครั้ง วัสดุโพรโบอิเล็กทริกไม่มีความเสถียรแน่นอนของแรงดันไฟฟ้าจึงต้องทำการเหี่ยบบนพื้นให้แรงดันไฟฟ้าถึงจุดคงที่ก่อน จึงจะสามารถเริ่มทำการทดลองได้

5.3 แนวทางการพัฒนาและต่อยอด

- ในส่วนของการเก็บเกี่ยวพลังงานของพื้น สามารถเพิ่มกำลังการเก็บเกี่ยวไฟฟ้าได้ โดยการปรับเปลี่ยนโครงสร้างด้านในของพื้น เพื่อเพิ่มจำนวนชั้นในส่วนของการเก็บเกี่ยวพลังงานได้
- โครงสร้างภายในพื้นเก็บเกี่ยวพลังงานหรือโมดูลภายในของพื้นเก็บเกี่ยวพลังงาน ยังสามารถออกแบบปรับเปลี่ยนรูปแบบเพื่อนำผลการทดลองมาเปรียบเทียบได้เช่นกัน ยกตัวอย่างเช่น แบบซี (ภาคผนวก) เป็นต้น



เอกสารนี้เป็นเอกสารที่สงวนไว้สำหรับการใช้งานเพื่อการศึกษาเท่านั้น ไม่อนุญาตให้นำไปใช้ประโยชน์ด้านการค้า
ไม่ว่ากรณีใดๆทั้งสิ้น อีกทั้งห้ามมิให้ดัดแปลงเนื้อหา และต้องอ้างอิงถึงเจ้าของเอกสารทุกครั้งที่มีการนำไปใช้

This material is reserved for educational use only, not allowed for commercial use.

Forbidden to modify the content, and cite the document when use.

เอกสารอ้างอิง

- [1] P. Thainiramit, "Development of Energy Harvesting Using the Piezoelectric Methods," Msc Dissertaion, Dept. Physics., Prince of Songkla University, Songkla, 2013.
- [2] C. Yochum, "CD Studio Project II," 2 Oct. 2020. [Online]. Available: <https://cat-yochum.medium.com/cd-studio-project-ii>.
- [3] L. Zhiming, J. Chen and J. Yang, "Recent Progress in Triboelectric Nanogenerators as a Renewable," in *Journal of Nanomaterials*, 2016.
- [4] PATTAYA TECHNICAL COLLEGE, "การถ่ายโอนกำลังไฟฟ้าสูงสุด," Chonburi, 2546.
- [5] N. WATJANATEPIN, "บทที่ 2 วงจรเรียงกระแส," in *อุปกรณ์อิเล็กทรอนิกส์และวงจร*, p. 8.
- [6] D. A. Barkas, C. S. Psomopoulos, K. Kalkanis, D. Piromalis and A. Mouratidis, "Sustainable Energy Harvesting through Triboelectric Nano – Generators: A Review of current status and applications," in *Technologies and Materials for Renewable Energy, Environment and Sustainability*, Athens, 2018.
- [7] Y. Fu, O. Huajiang and D. R. Benjamin, "Triboelectric energy harvesting from the vibro-impact of three cantilevered beams," in *Mechanical Systems and Signal Processing* 121 (2019), 2019.
- [8] Y. Ya, H. Zhang, R. Liu, X. Wen, T.-C. Hou and Z. L. Wang, "Fully Enclosed Triboelectric Nanogenerators for Applications in Water and Harsh Environments," in *Energy Mater.* 2013, 2013.
- [9] Y. Fang, L. Lin, S. Niu, P. K. Yang, Z. Wang, J. Chen, Y. Zhou, Y. Zi, J. Wang, Q. Liao, Y. Zhang and Z. L. Wang, "Stretchable- Rubber- Based Triboelectric Nanogenerator," in *Funct. Mater.* 2015, 2015.
- [10] W. Z. Lin, "Triboelectric Nanogenerators as New Energy Technology for Self-Powered Systems and as Active Mechanical and Chemical Sensors," in *the 2013 ACS Nano Lectureship Awards, presented*, Beijing, 2013.

เอกสารนี้เป็นเอกสารที่สงวนไว้สำหรับการใช้งานเพื่อการศึกษาเท่านั้น ไม่อนุญาตให้นำไปใช้ประโยชน์ด้านการค้า
ไม่ว่ากรณีใดๆทั้งสิ้น อีกทั้งห้ามมิให้ดัดแปลงเนื้อหา และต้องอ้างอิงถึงเจ้าของเอกสารทุกครั้งที่มีการนำไปใช้

This material is reserved for educational use only, not allowed for commercial use.

Forbidden to modify the content, and cite the document when use.

- [11] S. Ankanahalli, M. Ahmed, Y. Liu, B. Nanjegowda, X. Cheng, S. Shivanna, S. Ramakrishna, Z. Yu, X. Zhang and K. Sannathammegowda, "Dry-Coated Graphite onto Sandpaper for Triboelectric Nanogenerator as an Active Power Source for Portable Electronics," in *Nanomaterials 2019*, Beijing, 2019.
- [12] Z. Zhu, X. Kequan, Z. Xu, L. Haijun and Z. Hongze, "Starch Paper-Based Triboelectric Nanogenerator for Human Perspiration Sensing," in *Nanoscale Research Letters (2018)*, Jiangsu, 2018.
- [13] W. Jiaqi, Y. Zi, S. Li and C. Xiangyu, "High-voltage applications of the triboelectric nanogenerator— Opportunities brought by the unique energy technology," in *Materials Research Society, 2020*, 2019.
- [14] C. Bu, L. Fujing, Y. Kai, P. Jinbo, W. Licheng and K. Wang, "Research Progress and Prospect of Triboelectric Nanogenerators as," in *Electron. Mater. 2020*, 2020.
- [15] W. Jie, C. Wu, Y. Dai, Z. Zhao, A. Wang, T. Zhang and W. Z. Lin, "Achieving ultrahigh triboelectric charge density for efficient energy harvesting," in *NATURE COMMUNICATIONS*, 2017.
- [16] J. Xiong, P. Cui, X. Chen, J. Wang, K. Parida, M.-F. Lin and P. S. Lee, "Skin-touch-actuated textile-based triboelectric nanogenerator with black phosphorus for durable biomechanical energy harvesting," in *NATURE COMMUNICATIONS*, 2018.
- [17] S. Vladislav, S. Kopyl, M. Santos and L. Kholkin, "Natural and Eco-Friendly Materials for Triboelectric Energy Harvesting," in *Nano-Micro Lett.*, 2020.
- [18] Y. Chang, J. Park, K. Dogyun and YounTae, "Corrugated Textile based Triboelectric Generator for Wearable Energy Harvesting," in *SCIENTIFIC REPORTS*, 2017.
- [19] Y. Fu, O. Huajiang and D. R. Benjamin, "Nonlinear dynamics and triboelectric energy harvesting from a three-degree-of-freedom vibro-impact oscillator," in *Nonlinear Dyn (2018)*, 2018.
- [20] T. Zhumei, J. He, X. Chen, T. Wen, C. Zhai, Z. Zhang, J. Cho, X. Choua and Xue, "Core-shell coaxially structured triboelectric nanogenerator for energy harvesting and motion sensing," in *RSC Adv.*, 2018, 2018.

เอกสารนี้เป็นเอกสารที่สงวนไว้สำหรับการใช้งานเพื่อการศึกษาเท่านั้น ไม่อนุญาตให้นำไปใช้ประโยชน์ด้านการค้า
ไม่ว่ากรณีใดๆทั้งสิ้น อีกทั้งห้ามมิให้ดัดแปลงเนื้อหา และต้องอ้างอิงถึงเจ้าของเอกสารทุกครั้งที่มีการนำไปใช้

This material is reserved for educational use only, not allowed for commercial use.

Forbidden to modify the content, and cite the document when use.

- [21] W. Yang, Y. Yang, Wang and Z. Lin, "Triboelectric nanogenerators as flexible power sources," in *Flexible Electronics (2017)*, 2017.
- [22] G. Erik, L. Cecchini, M. Bevione and C. Alessandro, "Triboelectric Characterization of Colloidal TiO₂ for Energy Harvesting Applications," in *Nanomaterials 2020*, 2020.
- [23] X. Dai, L. Xiaofei, L. Yanling, P. Deng and C. Tang, "A Maximum Power Transfer Tracking Method for WPT Systems with Coupling Coefficient Identification Considering Two-Value Problem," in *Energies 2017*, 2017.
- [24] K. Navjot, J. Bahadur, V. Panwar, P. Singh, K. Rathi and P. Kaushik, "Effective energy harvesting from a single electrode based triboelectric nanogenerator," in *SCIENTIFIC REPORTS*, 2016.
- [25] S. Jung, M. Kang, Seok-Jin, W. Zhong-Lin, K. Sang-Woo and K. Chong-Yun, "High Output Piezo/Triboelectric Hybrid Generator," in *SCIENTIFIV REPORTS*, 2015.
- [26] H. Zou, Y. Zhang and L. Guo, "Quantifying the triboelectric series," in *NATURE COMMUNICATIONS*, 2019.
- [27] K. Y. Hwan, N. Goli and Y. J. Su, "Multi-stacked PDMS-based triboelectric generators with conductive textile for efficient energy harvesting," in *RSC Adv., 2015*, 2015.
- [28] S. Myeong-Lok, H. Jin-Woo, J. Seung-Bae, and M. Yang-Kyu, "Floating Oscillator-Embedded Triboelectric Generator for Versatile Mechanical Energy Harvesting," in *SCIENTIFIC REPORTS*, 2015.
- [29] P.Thainiramit, P.Yingyong and D.Isarakorn, "Impact-Deiven Energy Harvesting : Piezoelectric," in *Sensors*, 2020.
- [30] L. Congju, C. Ran and Z. Xiuling, "Breathable Materials for Triboelectric Effect-Based," in *Appl. Sci. 2018*, Beijing, 2018.

เอกสารนี้เป็นเอกสารที่สงวนไว้สำหรับการใช้งานเพื่อการศึกษาเท่านั้น ไม่อนุญาตให้นำไปใช้ประโยชน์ด้านการค้า
ไม่ว่ากรณีใดๆทั้งสิ้น อีกทั้งห้ามมิให้ดัดแปลงเนื้อหา และต้องอ้างอิงถึงเจ้าของเอกสารทุกครั้งที่มีการนำไปใช้

This material is reserved for educational use only, not allowed for commercial use.

Forbidden to modify the content, and cite the document when use.



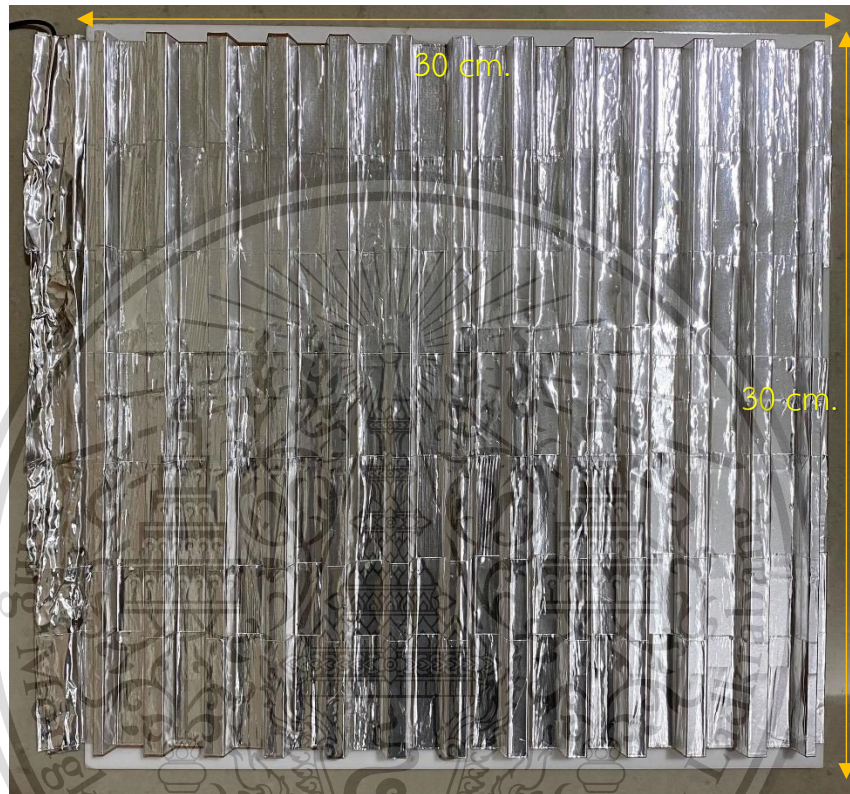
เอกสารนี้เป็นเอกสารที่สงวนไว้สำหรับการใช้งานเพื่อการศึกษาเท่านั้น ไม่อนุญาตให้นำไปใช้ประโยชน์ด้านการค้า
ไม่ว่ากรณีใดๆทั้งสิ้น อีกทั้งห้ามมิให้ดัดแปลงเนื้อหา และต้องอ้างอิงถึงเจ้าของเอกสารทุกครั้งที่มีการนำไปใช้

This material is reserved for educational use only, not allowed for commercial use.

Forbidden to modify the content, and cite the document when use.

พื้นเก็บเกี่ยวพลังงานแบบซี่

พื้นเก็บเกี่ยวพลังงานแบบซี่ทำขึ้นมาเพื่อใช้ทดสอบแล้วนำผลที่ได้มาจากการทดสอบไปเปรียบเทียบกับแบบพื้นฐานและแบบ 4 เซลล์ที่ได้ทดลองไปก่อนหน้านี้ แต่เนื่องจากสถานการณ์ระบาดของโรคโควิด-19 ทำให้มีการปิดสถาบันจึงทำให้ไม่สามารถทดสอบแบบซี่ต่อได้



รูปที่ 1 แผ่นอะลูมิเนียมที่ติดกับพื้นเก็บเกี่ยวพลังงานแบบซี่รูปที่ 1



รูปที่ 2 แผ่นอะลูมิเนียมที่ติดกับพื้นเก็บเกี่ยวพลังงานแบบซี่รูปที่ 2

เอกสารนี้เป็นเอกสารที่สงวนไว้สำหรับการใช้งานเพื่อการศึกษาเท่านั้น ไม่อนุญาตให้ไปเผยแพร่ขึ้นด้านการค้า

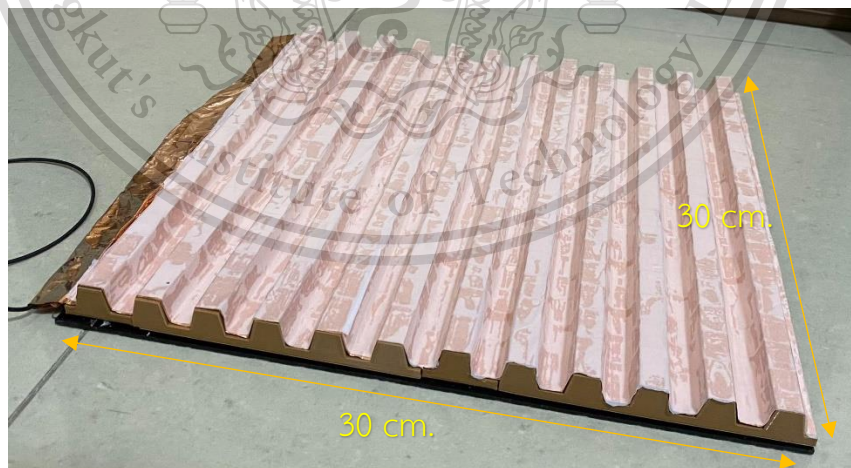
ไม่ว่ากรณีใดๆทั้งสิ้น อีกทั้งห้ามนำเอกสารไปดัดแปลงหรือทำซ้ำโดยไม่ได้รับอนุญาตของเอกสารทุกครั้งที่มีการนำไปใช้

This material is reserved for educational use only, not allowed for commercial use.

Forbidden to modify the content, and cite the document when use.



รูปที่ 3 แผ่นเทปลอนที่ติดกับทองแดงแล้วติดกับพื้นเก็บเกี่ยวพลังงานแบบซี่รูปที่ 1



รูปที่ 4 แผ่นเทปลอนที่ติดกับทองแดงแล้วติดกับพื้นเก็บเกี่ยวพลังงานแบบซี่รูปที่ 2

เอกสารนี้เป็นเอกสารที่สงวนไว้สำหรับการใช้งานเพื่อการศึกษาเท่านั้น ไม่อนุญาตให้นำไปใช้ประโยชน์ด้านการค้า
ไม่ว่ากรณีใดๆทั้งสิ้น อีกทั้งห้ามมิให้ดัดแปลงเนื้อหา และต้องอ้างอิงถึงเจ้าของเอกสารทุกครั้งที่มีการนำไปใช้

This material is reserved for educational use only, not allowed for commercial use.

Forbidden to modify the content, and cite the document when use.